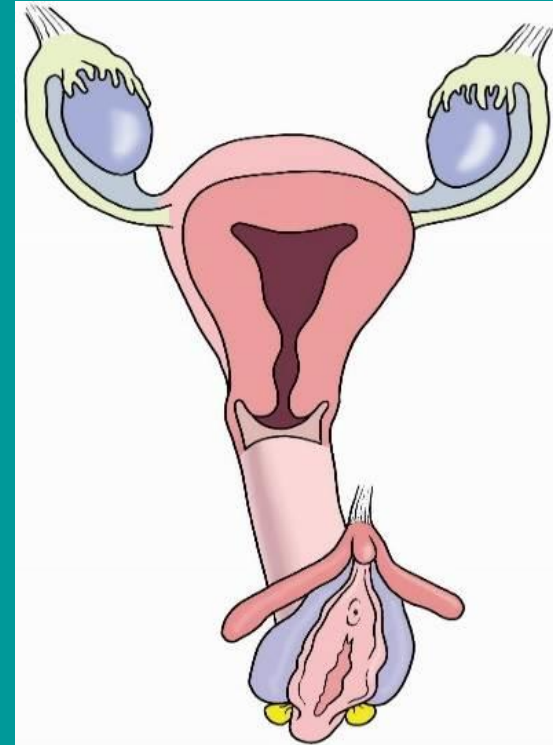
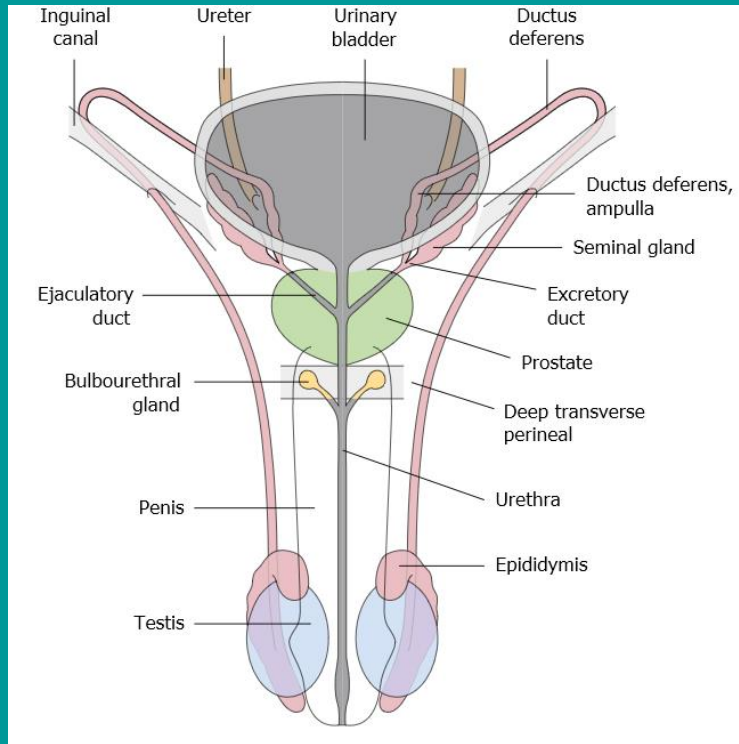


Vývoj pohlavního systému



Miloš Grim

Anatomický ústav 1. lékařské fakulty,

Univerzita Karlova v Praze

přednáška pro posluchače všeobecného a zubního lékařství

letní semestr 2019/ 2020

Ženské a mužské pohlavní orgány se vyvíjejí z jednoho indiferentního embryonálního základu

Ženský fenotyp se vyvíjí spontánně při absenci chromosomu Y a z toho vyplývající absenci exprese SRY genu

Vývoj mužského fenotypu je podmíněn přítomností maskulinizačních vlivů (zahájených expresí SRY genu na chromosomu Y), produkcí testosteronu a AMH

Pohlavní orgány, reprodukční orgány, organa genitalia masculina et feminina

zevní a vnitřní pohlavní orgány

gonáda – pohlavní žláza

gametogenese (spermatozoa, oocyty),

endokrinní funkce (testosteron, estrogeny, progesteron)

vývodné cesty pohlavní

transport gamet,

retence a nutrice plodu

kopulační orgány

penis a vagina – vnitřní oplodnění

přídavné žlázy

specifické sekrety

Vývoj pohlavního systému

vývoj pohlavních žláz

indiferentní pohlavní žláza

genetická determinace pohlaví (X, Y)

fenotypická exprese (SRY gen na Y chromosomu)

hormonální ovlivnění AMH, testosteron

migrace prvopohlavních (germinálních) buněk

vývoj a sestup varlat a vaječnicků

vliv zevního prostředí na vývoj varlat

vývoj pohlavních cest

indiferentní ale dvojí pohlavní cesty:

ductus mesonephricus Wolffi,

ductus paramesonephricus Muelleri

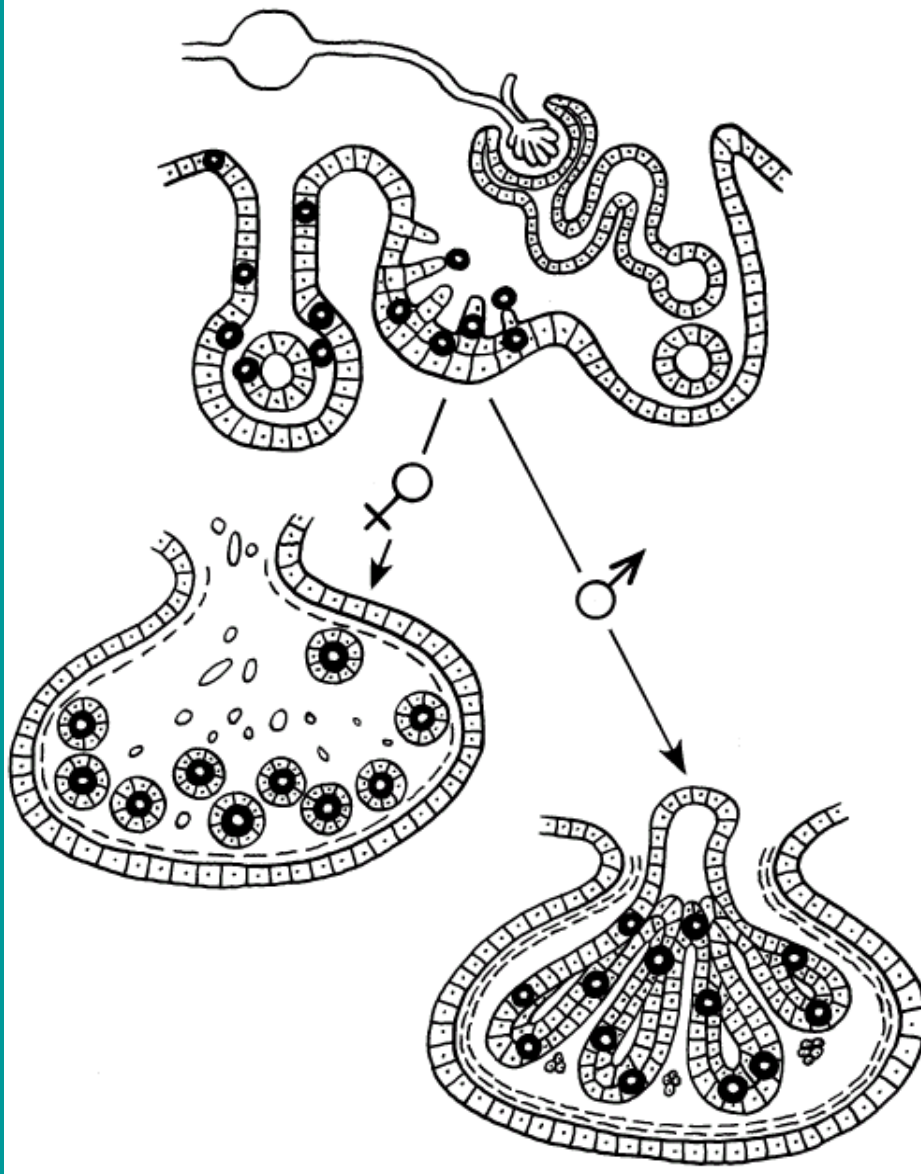
jen jedna bude použita

vývoj zevních pohlavních orgánů

indiferentní zevní pohlavní orgány:

tuberculum genitale, plicae genitales,

tori genitales



Na tvorbě gonády se podílejí tři populace buněk: **coelomový epithel** (z něho se diferencují také **Sertoliho buňky varlete** a **folikulární buňky ovaria**), **mesenchymové buňky plica genitalis** (z nich se diferencují **Leydigovy buňky** a **thékální buňky ovaria**) a **prvopohlavní buňky** (černě), které migrují od 6. týdne do základu gonády z extraembryonálního mesodermu.

Ve varleti se rozvíjí dřeň, která obsahuje základy kanálků, kdežto u ženského pohlaví mohutní kůra s epithelovými a prvopohlavními buňkami, takže od 7. týdne lze v řezech odlišit varle od ovaria.

Zárodečné buňky, které nesou genetický materiál pro příští generaci, jsou v nejranějším stadiu vývoje označovány jako **prvopohlavní buňky** neboli **primordiální zárodečné buňky** (primordial germ cells) **PGCs**.

Kde přesně a kdy je u člověka tato linie buněk založena, není známo, ale je zřejmé, že se vyčleňují **z pluripotentních buněk epiblastu v časně fázi gastrulace**. Od 24. dne vývoje je lze identifikovat **v entodermu stěny žloutkového váčku** v blízkosti allantois jako buňky se světlou cytoplasmou a intenzivní **positivitou pro alkalickou fosfatasu**. Jsou to **prvé rozpoznatelné prerkursory gamet**.

Jejich vývojový program směřuje k diferenciaci v jediný buněčný typ, **v oocyt resp. ve spermii a teprve při oplození po splynutí gamet, vzniká totipotentní zygota jako základu nového organismu**.

Nicméně za určitých okolností se časně PGCs mohou chovat jako pluripotentní buňky. Skončí-li jejich migrace na atypickém místě, mohou dát vznik **teratomu**, nádoru s širokým spektem buněčných typů ze všech zárodečných listů.

Pohlaví plodu je geneticky určeno již při oplození vajíčka spermií s chromosomem X nebo Y, ale morfologickou známkou pohlaví je u ženského pohlaví v tomto indiferentním období jen přítomnost tzv. sex chromatinu (Barrovo tělísko).

Barrovo tělísko je hrudka heterochromatinu při jaderné membráně, která odpovídá inaktivovanému maternálnímu či paternálnímu X chromosomu. K inaktivaci dochází okolo 12. dne (asi 100 buněk vývoje a soudí se, že je věcí náhody který z X chromosomů je v které buňce inaktivován. **Morfologické známky pohlavní diference gonády jsou patrné od začátku 7. týdne.**

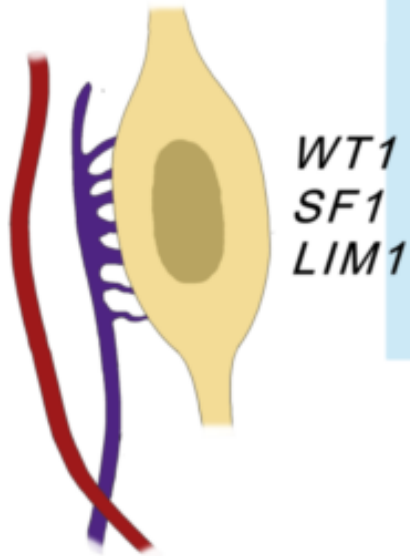
Základy pohlavních cest: základem mužského vývodu je ***ductus mesonephricus Wolffi*** a základem ženských pohlavních cest je ***ductus paramesonephricus Mülleri***. Jeden z nich později zaniká.

Základy zevních pohlavních orgánů jsou patrné od 5. týdne a jsou zpočátku také indiferentní. **Začínají se diferencovat až od konce 12. týdne.**

INDIFERENTNÍ GONÁDA
V PLICA GENITALIS

DETERMINACE
GONÁDY

DIFERENCIACE GONÁDY

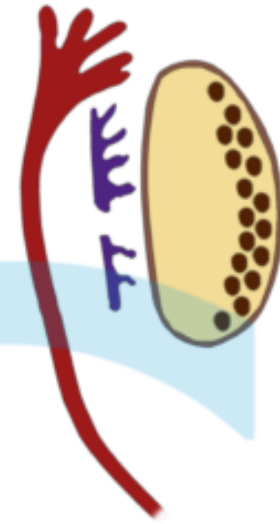


WT1
SF1
LIM1

XX

XY → *SRY*

♀



WNT4
DAX1
FOXL2

♂



SOX9
AMH
FGF9
DHH
PDGF
SF1

SRY

SOX9



MOLEKULÁRNÍ MECHANISMY DETERMINACE A DIFERENCIACE GONÁDY.

Determinaci varlete podmiňuje exprese genu **SRY** v somatických buňkách z linie Sertoliho buněk v 6. – 8. týdnu vývoje.

SRY exprese v prekursorech Sertoliho navozuje expresi genu **SOX9**, který je řídicím genem diferenciaci Sertoliho buněk.

Sertoliho buňky produkují **FGF9**, který aktivuje diferenciaci **Leydigových buněk**.

Další vývoj **maskulinního fenotypu** řídí dva hormony: **AMH (anti-Müllerian hormone)** secernovaný Sertoliho buňkami a **testosteron** tvořený v Leydigových buňkách.

U plodů **ženského pohlaví se** indiferentní gonáda dále vyvíjí jako **ovarium**.

Ductus Wolffii se pod maskulinizačním vlivem testosteronu přetváří v základ mužských vývodných cest. Neuplatní-li se vliv testosteronu, podléhá ductus Wolffii regresi,

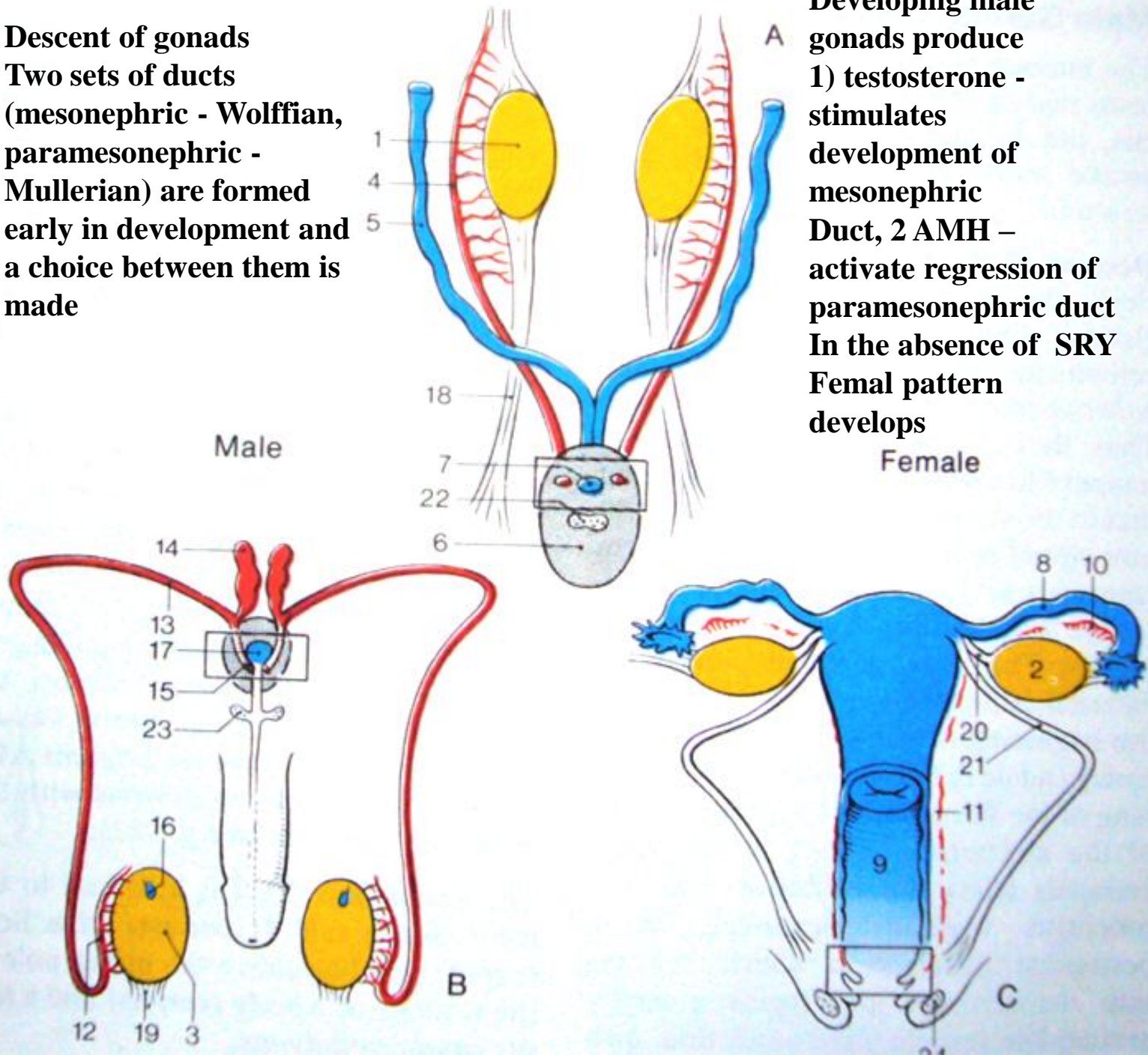
Testosteron resp. jeho derivát dihydrotestosteron je od 9. týdne produkován **Leydigovými buňkami** varlete a jeho sekrece je zpočátku řízena choriovým gonadatropinem. Dosahuje vrcholu ve 14. – 17. týdnu vývoje.

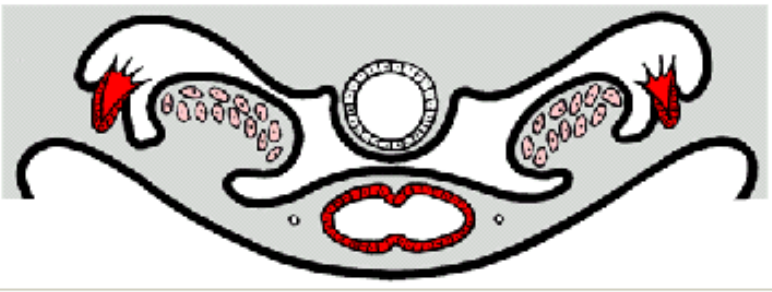
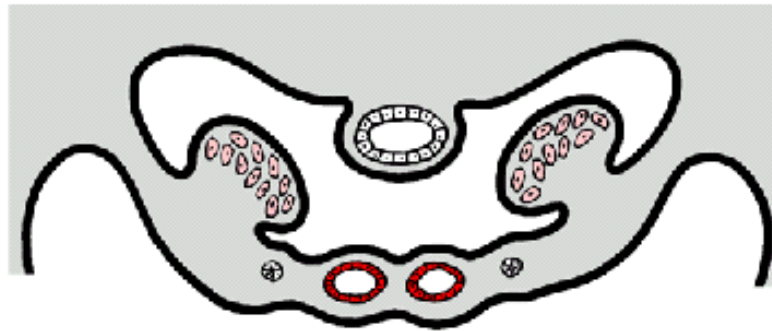
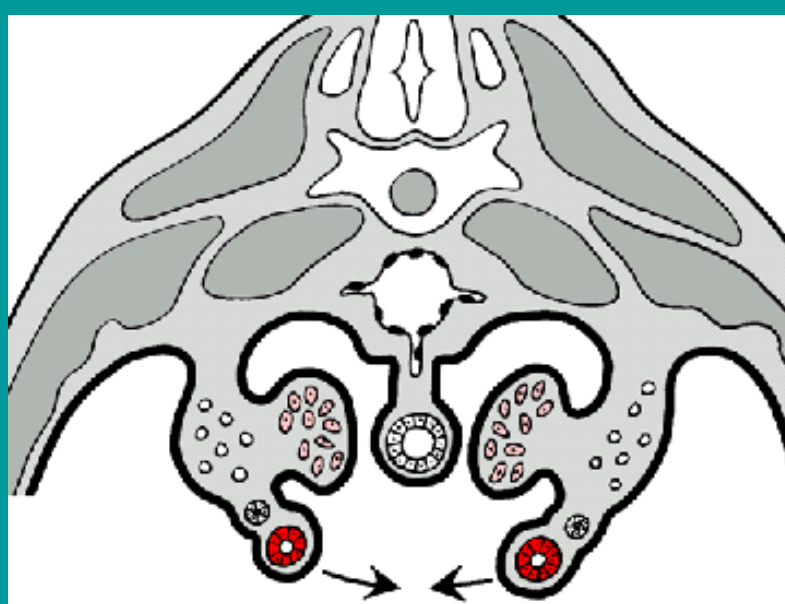
Testosteron je odpovědný za maskulinisace zevních pohlavních orgánů, za pohlavní diferenciaci CNS, která vede ke kontinuální produkci gonadotropinů a mužský typ sexuálního chování. Později, od puberty, je testosteron odpovědný za vývoj sekundárních pohlavních znaků.

Základ ženských pohlavní cest, **ductus Mülleri**, zaniká u plodů mužského pohlaví v 8. – 10. týdnu. Jeho regrese je důsledkem působení **AMH (anti-Müllerian hormone)**, který vylučují Sertoliho buňky v základu varlete. U plodů ženského pohlaví se dále vyvíjí a vznikají z něho vejcovody, děloha a část pochvy. Zároveň se feminisují základy zevních pohlavních orgánů.

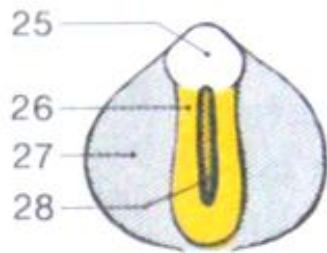
Descent of gonads
Two sets of ducts
(mesonephric - Wolffian, paramesonephric - Mullerian) are formed early in development and a choice between them is made

Developing male gonads produce
1) testosterone - stimulates development of mesonephric Duct, 2 AMH - activate regression of paramesonephric duct
In the absence of SRY Femal pattern develops

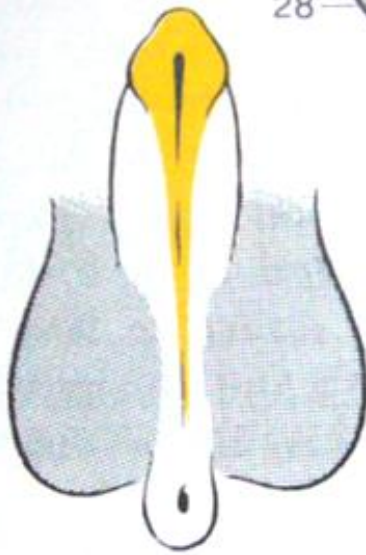




**Descensus ovarii,
vznik tuba uterina, uteru a
části vaginy z ductus
paramesonephricus
(Muelleri),
vznik plica lata uteri
z plica urogenitalis,
vývoj polohy pánevních
pohlavních orgánů**

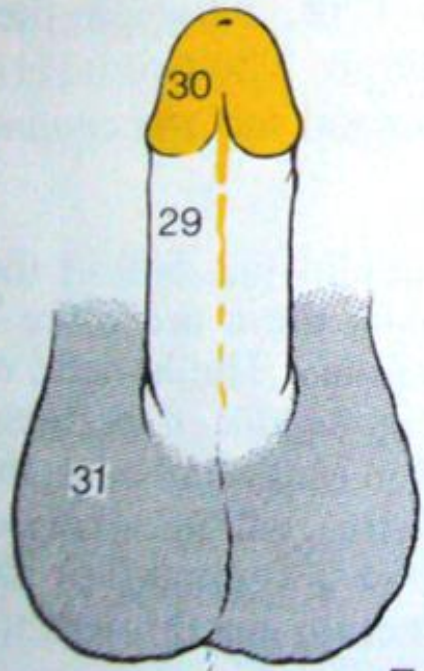


Male

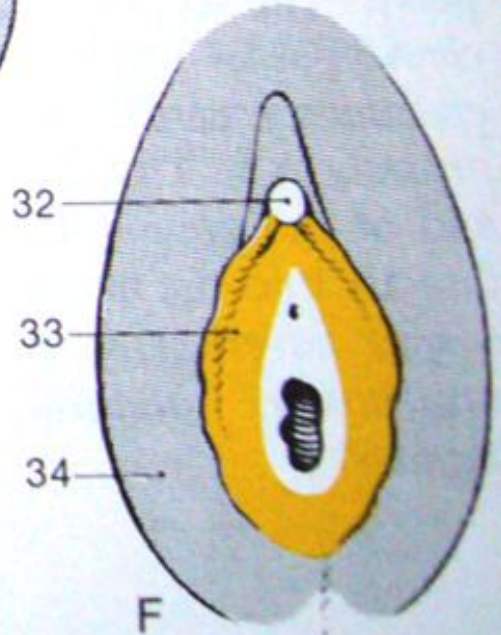


D

Female



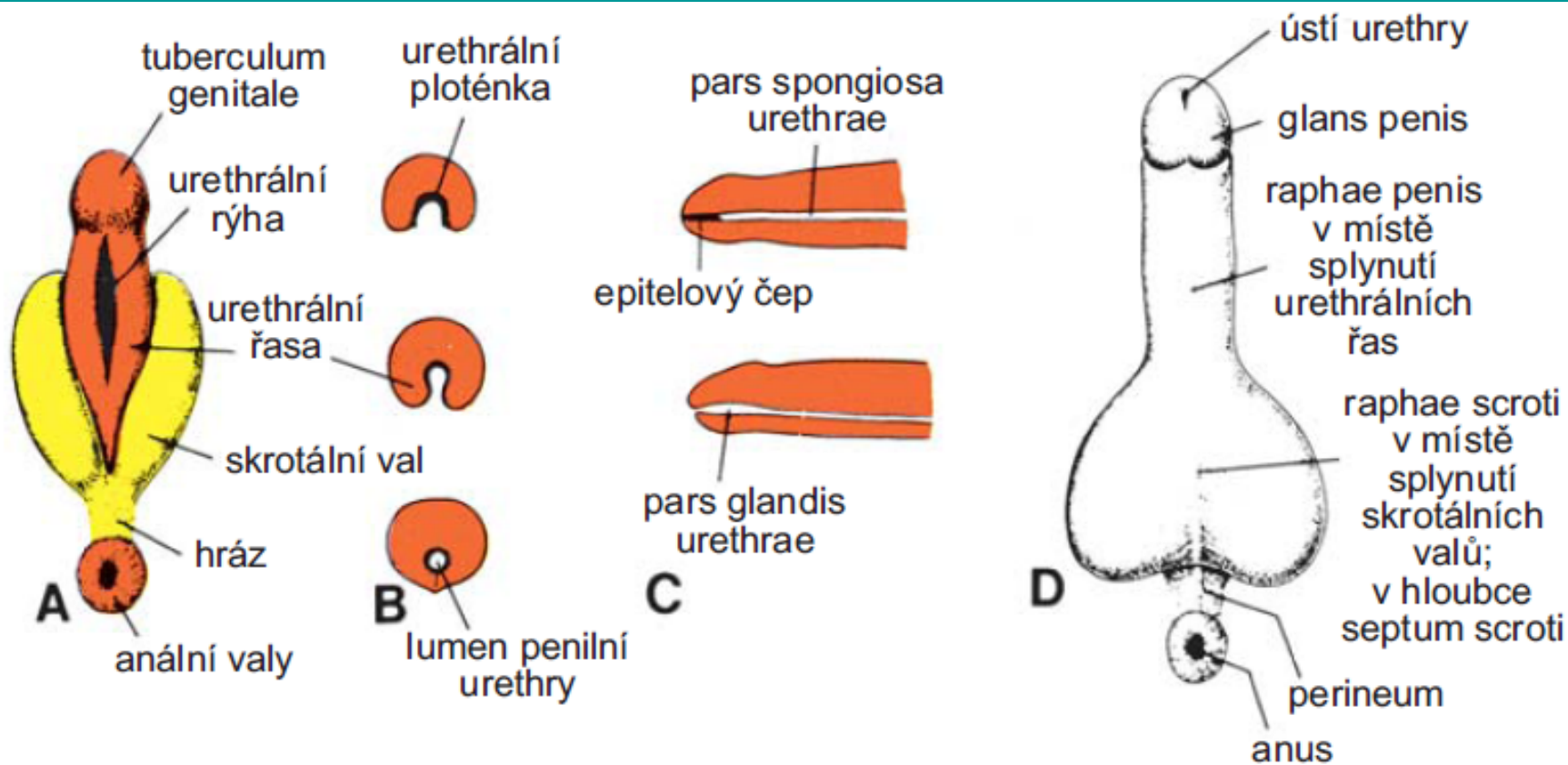
E



F

External genital organs develop from: genital eminence, genital folds, genital ridges and urogenital sinus

Development of internal and external genital organs



Obr. 15.33 **A.** Vývoj mužských zevních pohlavních orgánů, 10. týden. Hluboká uretrální rýha je ohraničena urethrálními řasami. **B.** Příčné řezy penisem během vývoje pars spongiosa urethrae. Urethrální rýha se uzavírá splynutím pravé a levé urethrální řasy. **C.** Vývoj pars glandis urethrae.

Embryonální základy pohlavního systému a jejich definitivní deriváty u mužského a ženského pohlavního ústrojí

Indiferentní stav	Mužské pohlaví	Ženské pohlaví
základ pohlavní žlázy	testis	ovarium
gubernaculum	lig. scrotale	lig. uteroovaricum, lig. teres uteri
kanálky mesonefros	rete testis, ductuli efferentes testis, paradidymis	epoophoron, paroophoron
ductus Wolffii	ductus epididymidis, ductus deferens, gl. vesiculosa, ductus ejaculatorius	ductus longitudinalis epoophori, Gartnerův kanálek
ductus Mülleri	appendix testis, utricleus prostaticus	tuba uterina, uterus, kraniální část vaginy
střední 1/3 sinus urogenitalis	pars prostatica urethrae nad colliculus seminalis	urethra feminina
kaudální 1/3 sinus urogenitalis	pars prostatica urethrae pod colliculus seminalis, pars membranacea urethrae	vestibulum vaginae
plicae urogenitales (urethrální řasy)	pars spongiosa urethrae, radix penis, raphe penis	labia minora, bulbus vestibuli
tuberculum genitale	corpus et glans penis, preputium, fossa navicularis urethrae	clitoris, preputium
tori genitales	scrotum, raphe scroti	labia majora
hiatus urogenitalis	lumen v pars spongiosa urethrae	rima pudendi

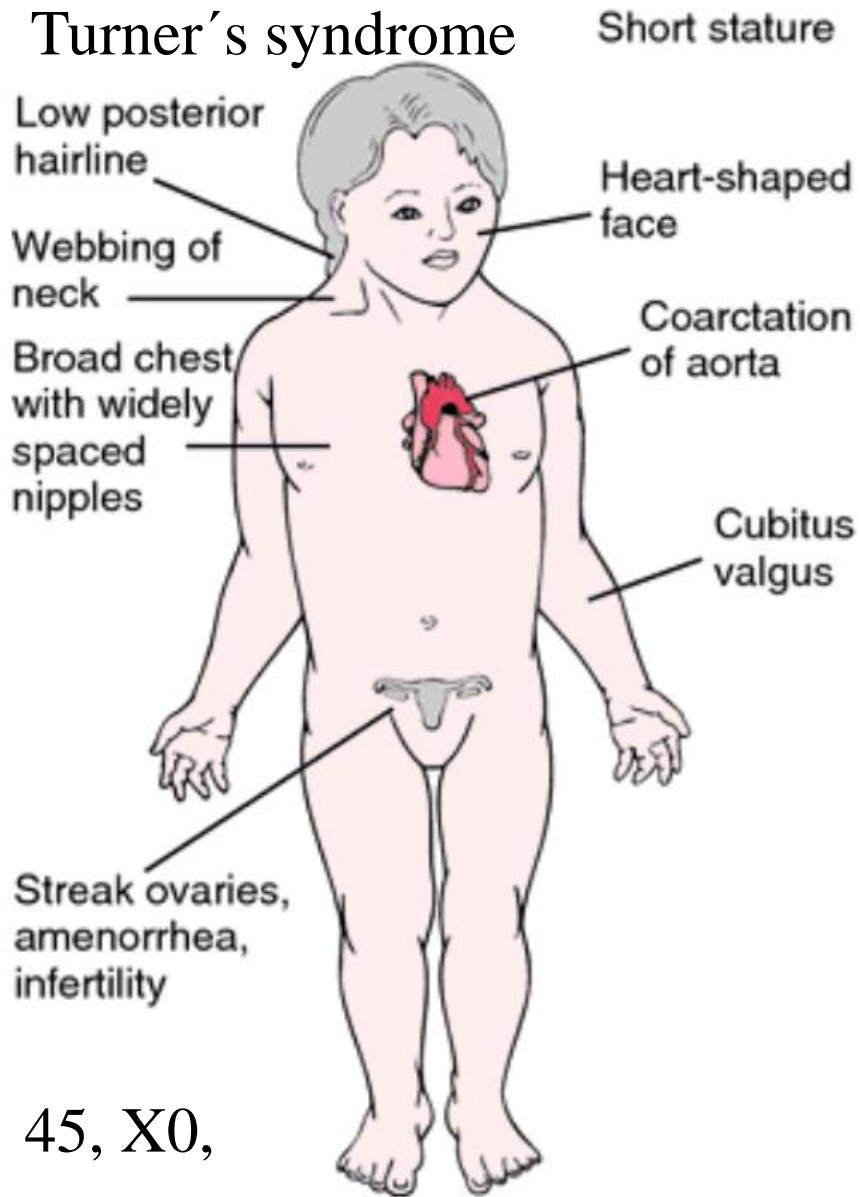
Odchytky v diferenciaci orgánů pohlavního systému

Část poruch sexuální diferenciacie je podmíněna **abnormálním karyotypem** (Turnerův syndrom – u ženy karyotyp 45,X,0
Klinefelterův syndrom – u muže karyotyp 47,XXY),

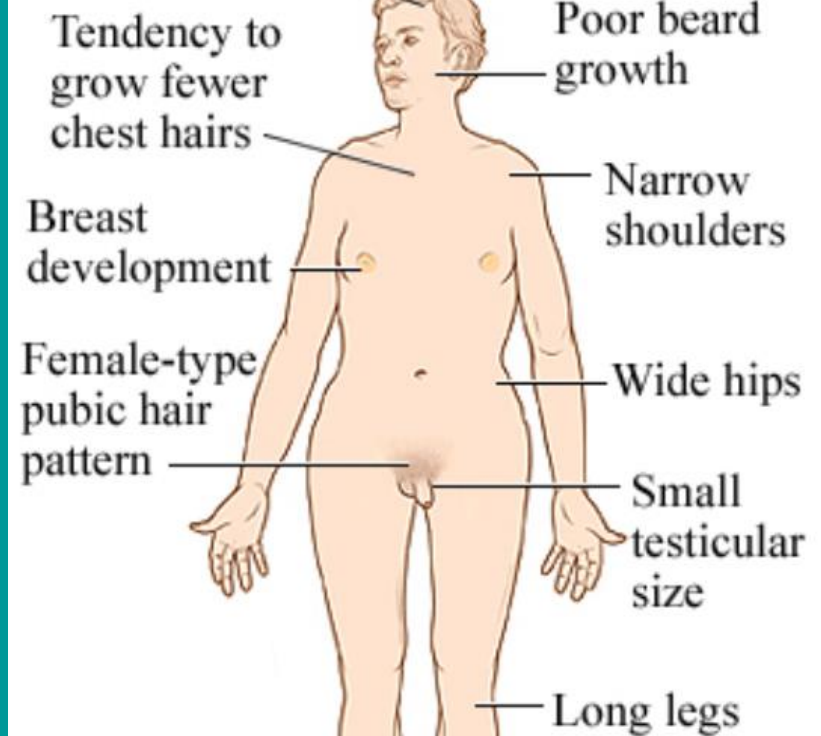
Odchytky v diferenciaci pohlaví, při nichž se karyotyp nemusí shodovat s fenotypickým pohlavím vedou k různým formám **pseudohermafroditismu**. Mohou být způsobeny **poruchami v metabolismu pohlavních hormonů nebo mutacemi v genech pro jejich receptory**.

Např. **testikulární feminizace** je podmíněna defektem androgenního receptoru a tedy necitlivostí cílových tkání k androgenům (AIS, androgen insensitivity syndrome). **a pokud je receptor zcela vyřazen z funkce u jedinců s karyotypem XY, je výsledkem ženský zevní genitál a ženský psychosexuální vývoj**. Jejich varlata však produkují AMH (anti-Müllerian hormone), a proto se nevyvíjí děloha a vejcovody a mužský typ pubického ochlupení, které je závislé na androgenech.

Turner's syndrome



Frontal baldness absent

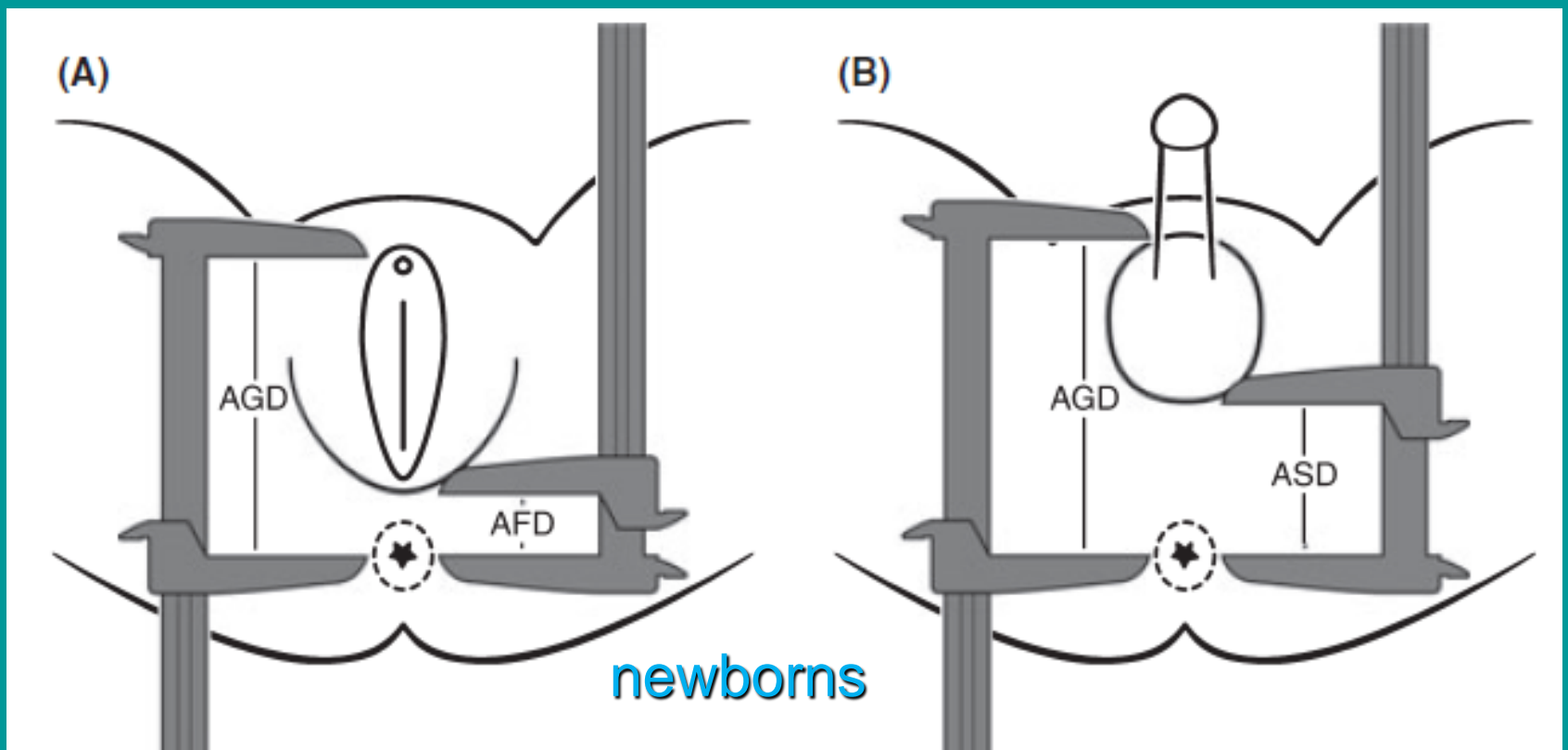


John Cobb and Denis Duboule:
Comparative analysis of genes downstream of the Hoxd cluster in developing digits and external genitalia.
Development 132, 3055-3067, 2005



Expression of
Hoxd13 at E12.5



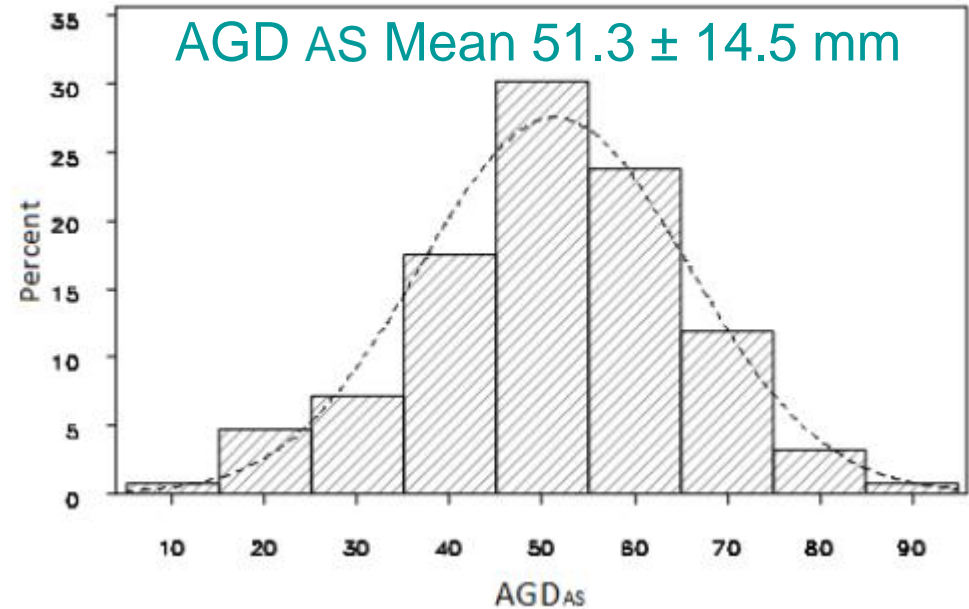
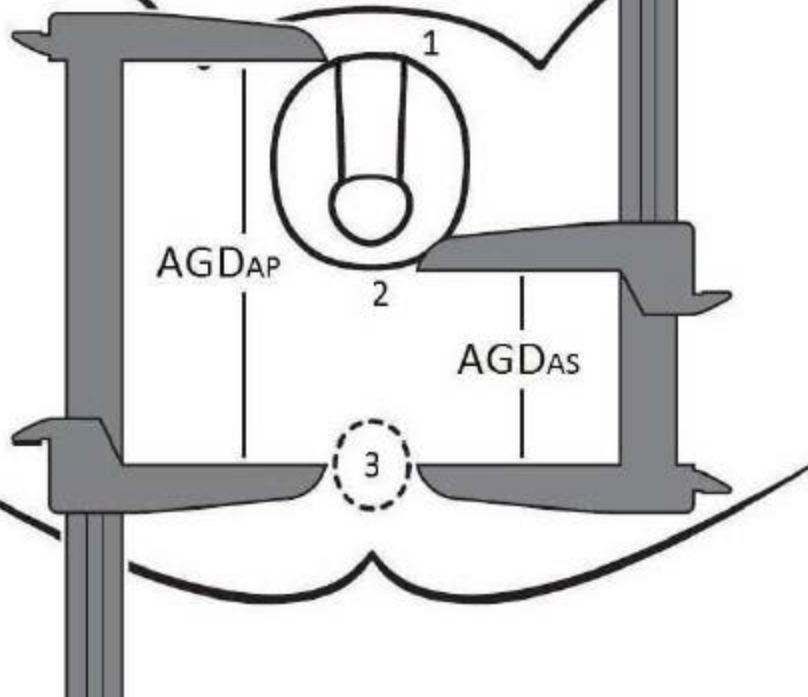


An-ogenital distance/ano-scrotal distance/ano-fourchette distance diagrams. (A) Center of the anus to the anterior clitoral surface (AGD) and the center of the anus to the posterior fourchette (AFD) measurements made in female subjects. (B) Center on the anus to the anterior base of the penis (AGD) and the center of the anus to the junction of the perineum with the rugated scrotal skin (ASD) measurements made in male subjects.

The mean AFD was **15.1** mm (SD \pm 2.9) and ASD was **23.0** mm (SD \pm 3.8) and— in newborns. S. Sathyanarayana,* L. Beard, C. Zhou* and R. Grady:

Measurement and correlates of ano-genital distance in healthy, newborn infants. *International Journal of Andrology* 33 (2010), 317–

Adult man

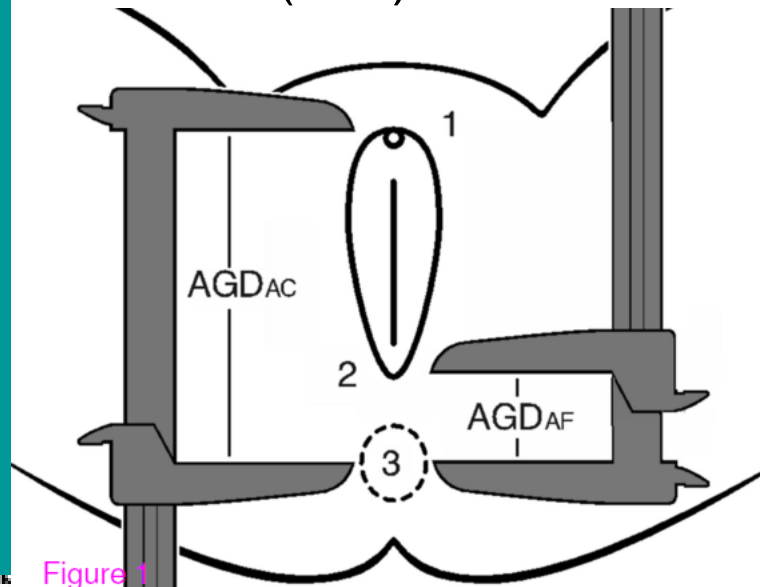


Frequency distributions of measures of anogenital distance

Mendiola J et al.: **Shorter Anogenital Distance Predicts Poorer Semen Quality in Young Men in Rochester, New York.** Environ Health Persp 119: 958 - 963 (2011)

Men with AGD AS below the median were 7.3 times more likely to have a low sperm concentration

AGD AC (mm) 80.4 ± 10.5 (SD) 79.2 - 59.5 - 96.1 (Median)
 AGD AF (mm) 37.7 ± 6.3 (SD) 37.2 - 27.9 - 48.6 (Median)



Mendiola J, Roca M. et al.: Anogenital distance is related to ovarian follicular number in young Spanish women: a cross-sectional study.
 Environ Health 2012 Dec ;11(1):90.

In many mammalian species females with shorter AGD are more fertile.

Figure 1

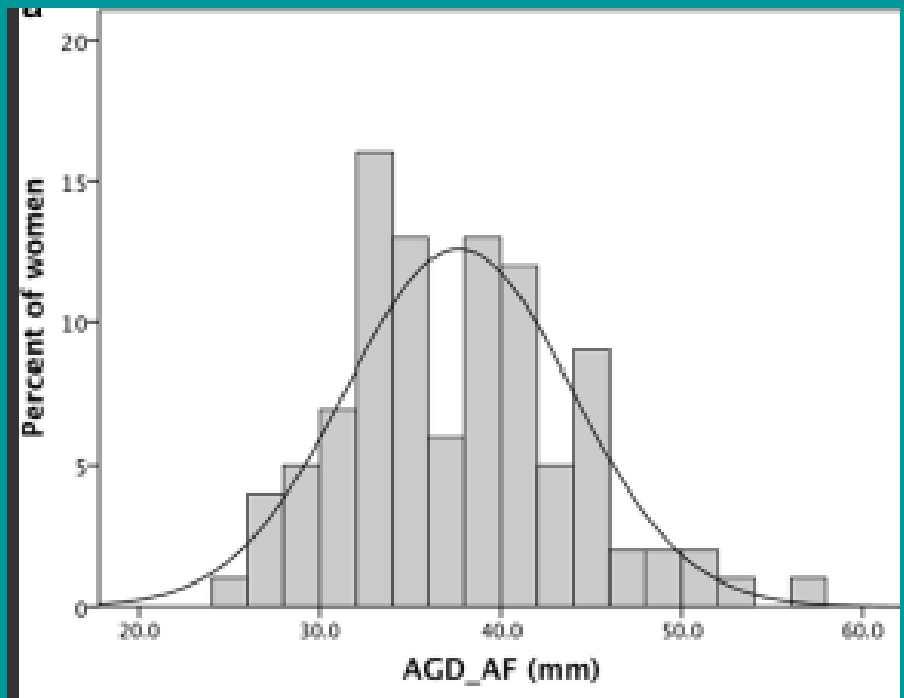
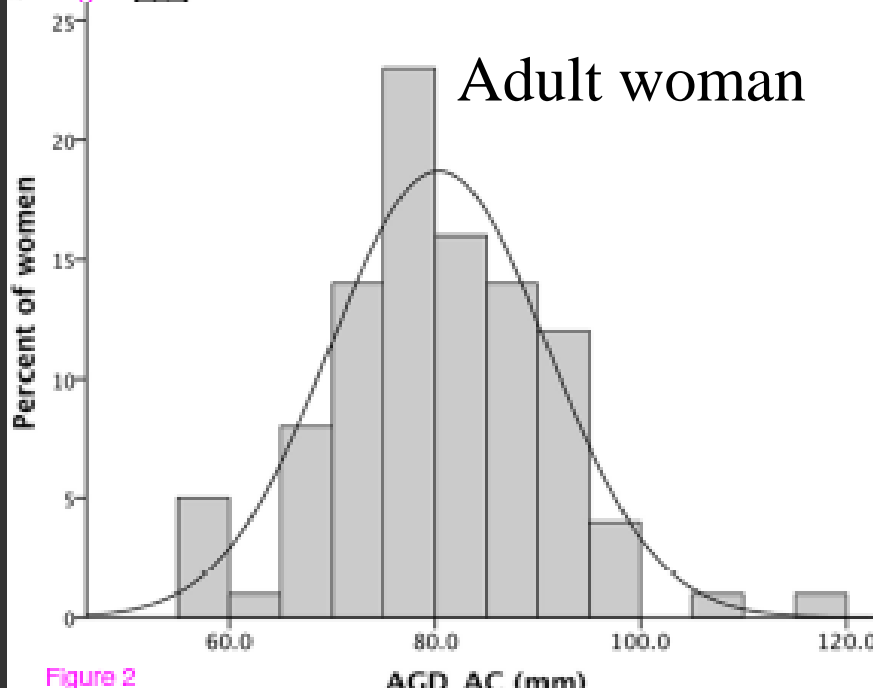
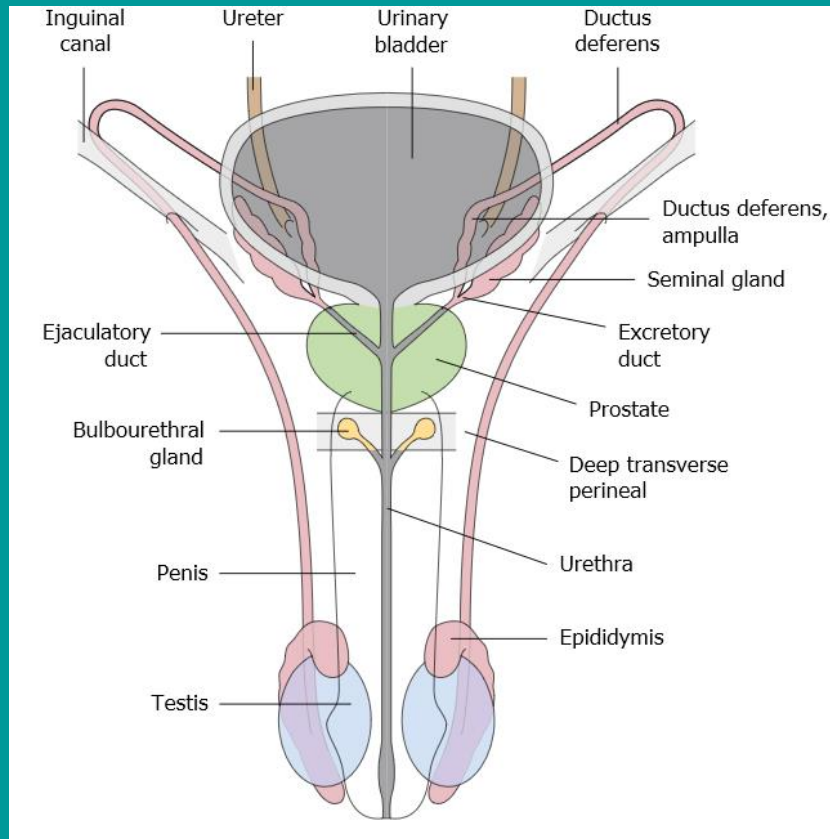


Figure 2

Organa genitalia masculina



Miloš Grim

Anatomický ústav 1. lékařské fakulty,

Univerzita Karlova v Praze

přednáška pro posluchače všeobecného a zubního lékařství

letní semestr 2019/ 2020

**Mužské pohlavní
orgány
organa genitalia
masculina**

varle - testis (orchis)

nadvarle - epididymis

chámovod –

ductus deferens

semenné vāčky -

vesiculae seminales

předstojná žláza -

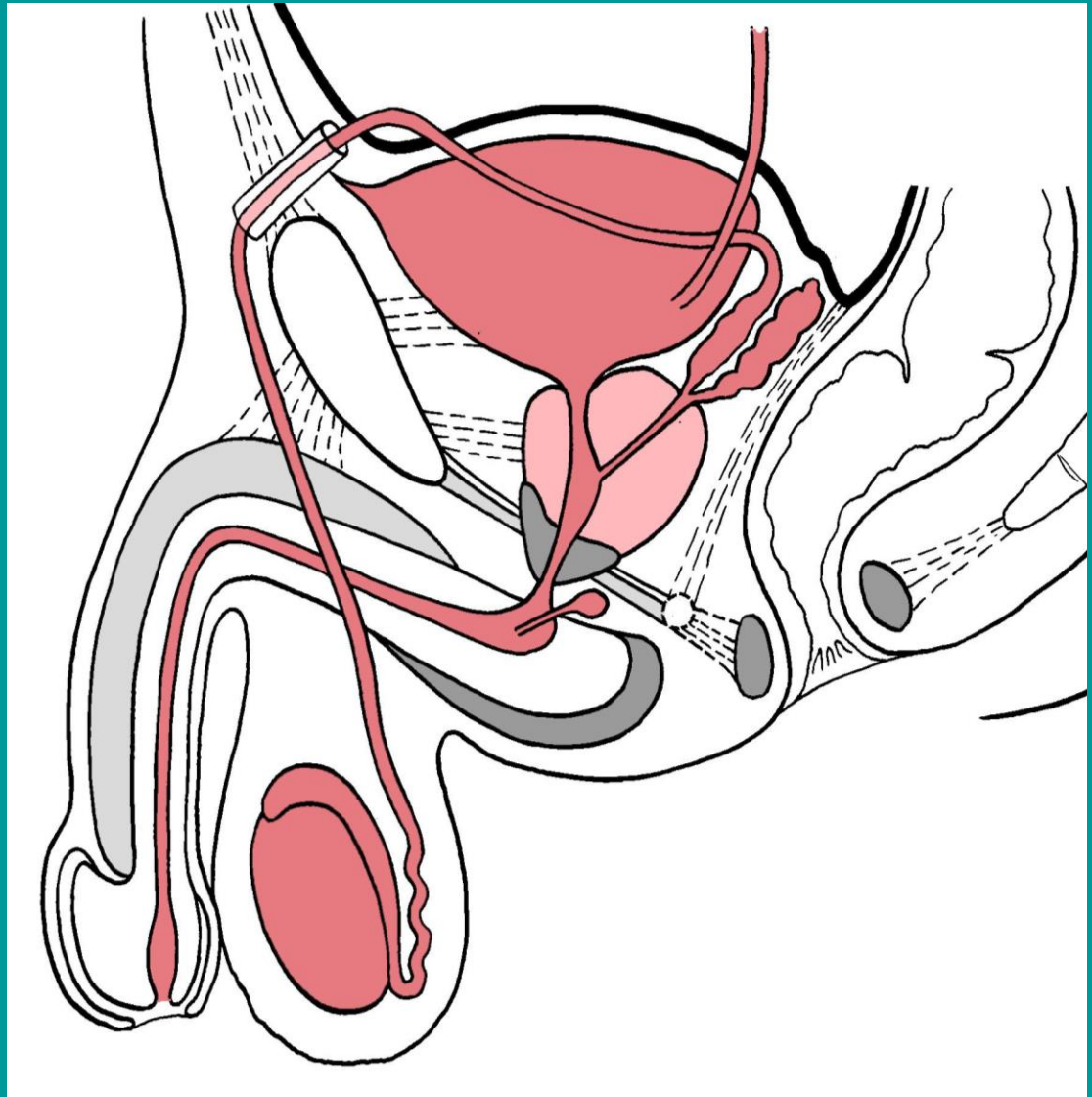
prostata

pyj - penis

šourek - scrotum

semenný provazec-

funiculus spermaticus

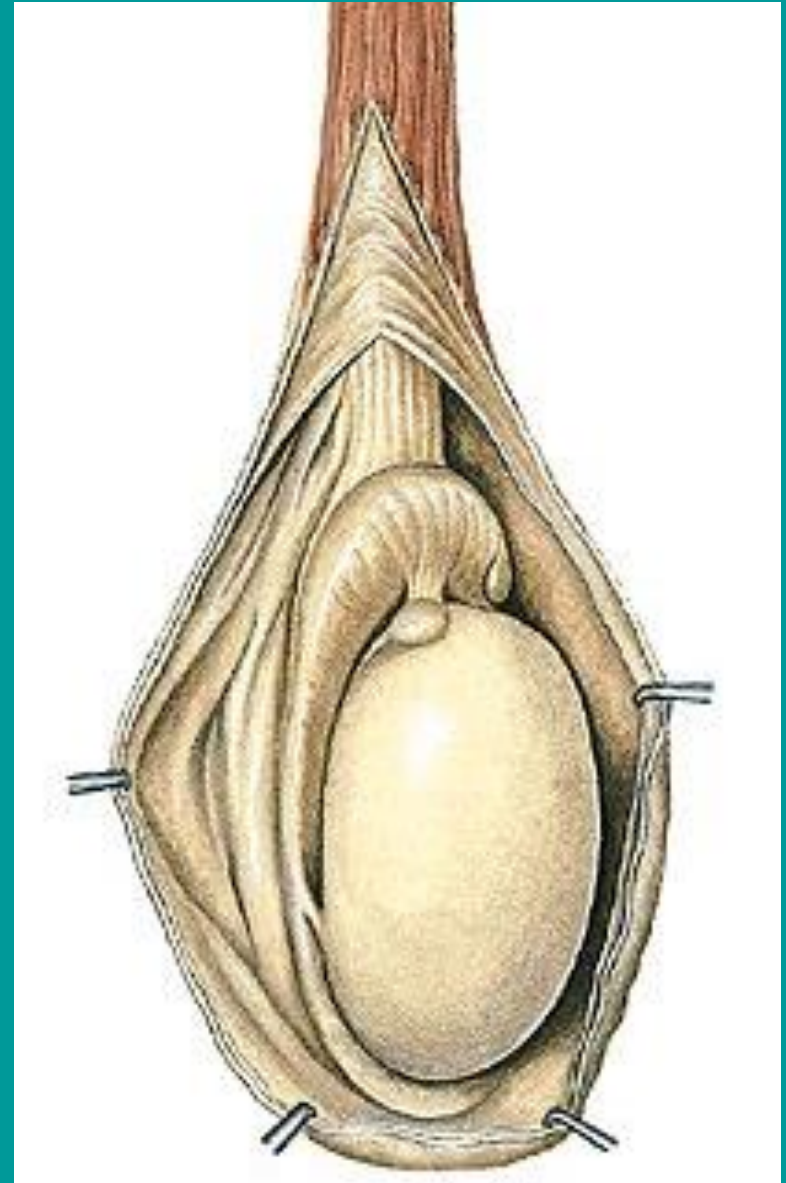


Testis (orchis)

Polus superior, inferior,
facies lateralis, medialis
margo anterior, posterior,
Tunica vaginalis – lamina
parietalis, visceralis,
sinus epididymidis,

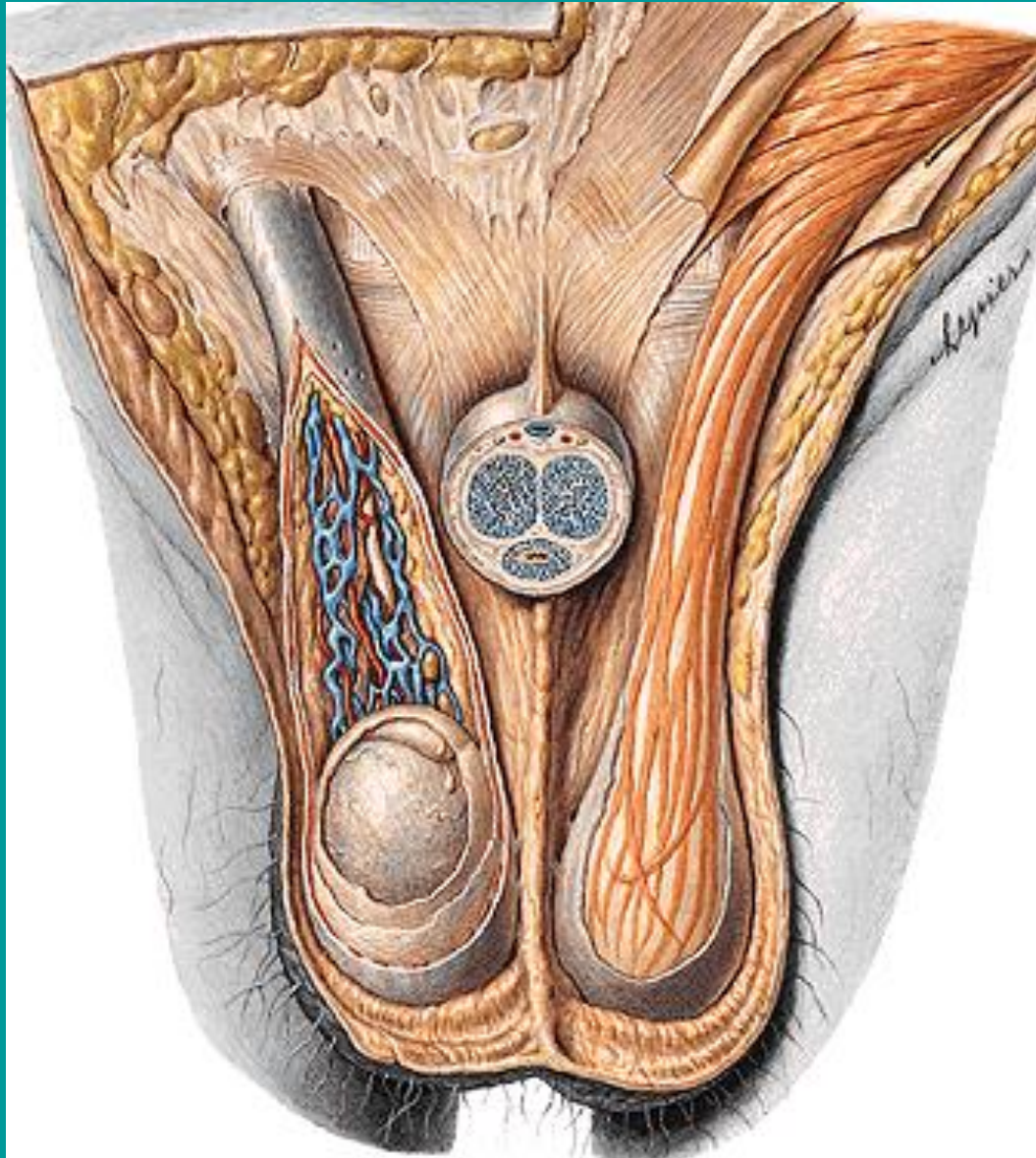
Epididymis

Caput, corpus, cauda,
Ductuli efferentes testis
ductus epididymidis





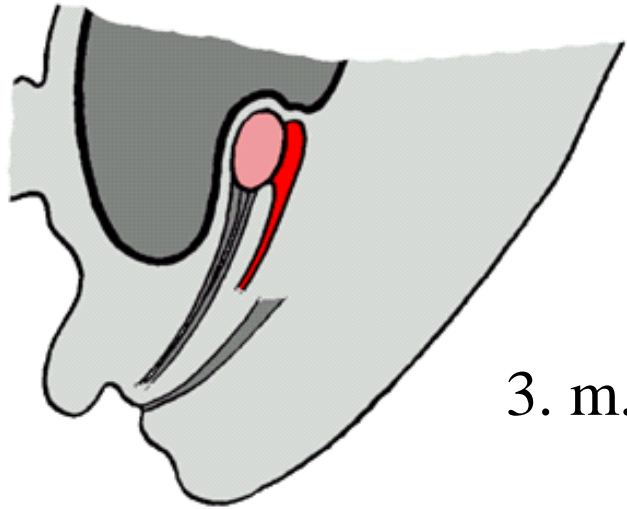
Scrotum: raphae scroti, tunica dartos, septum scroti, fascia spermatica externa, f. s. interna, fascia cremasterica, m. cremaster, epiorchium, periorchium, cavum serosum scroti, sinus epididymidis



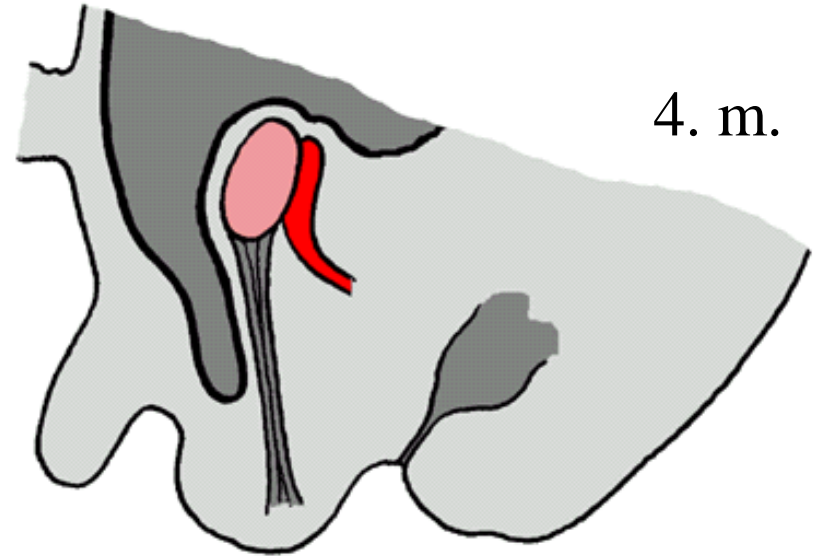
Uložení varlat ve skrotu - eliminace nitrobřišního tlaku, zajištění nižší teploty než 37°C

Varlata sestouplá do skrota - známka donošenosti

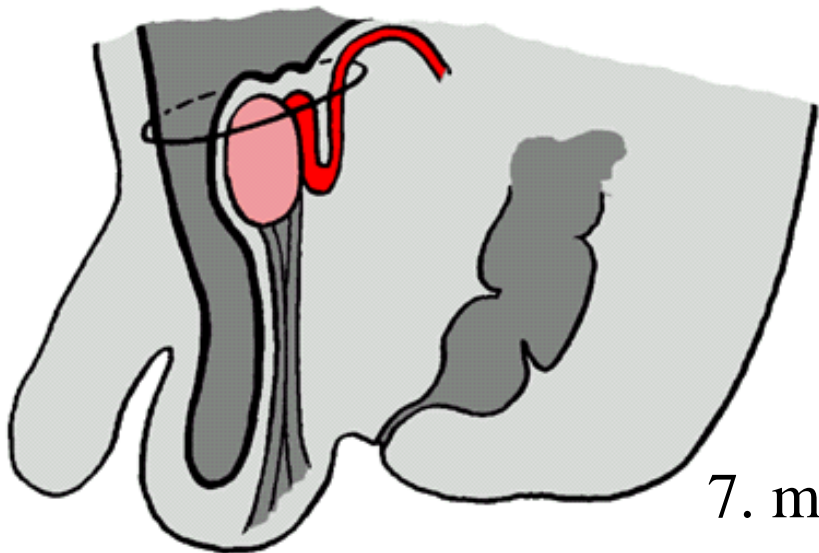
Descensus testium, proc. vaginalis peritonei, gubernaculum testis



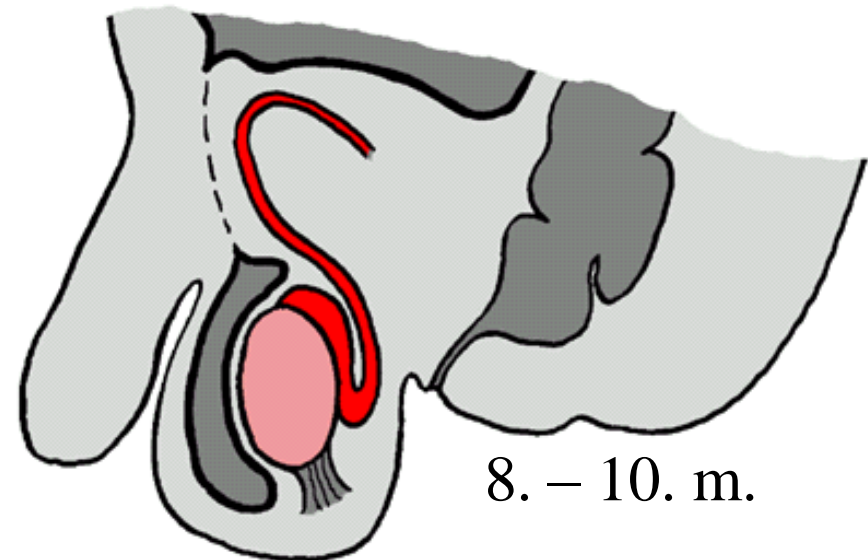
3. m.



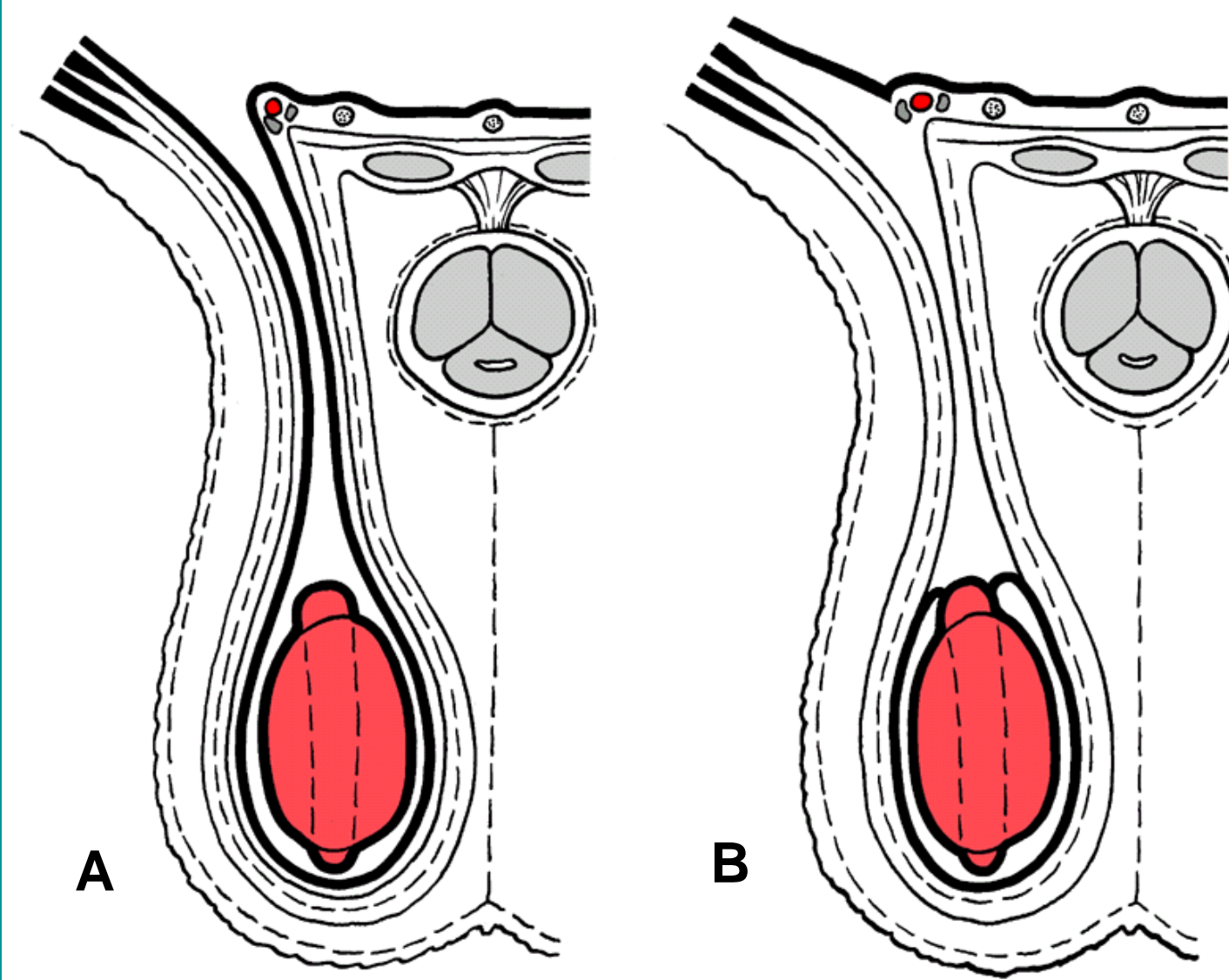
4. m.



7. m.



8. - 10. m.

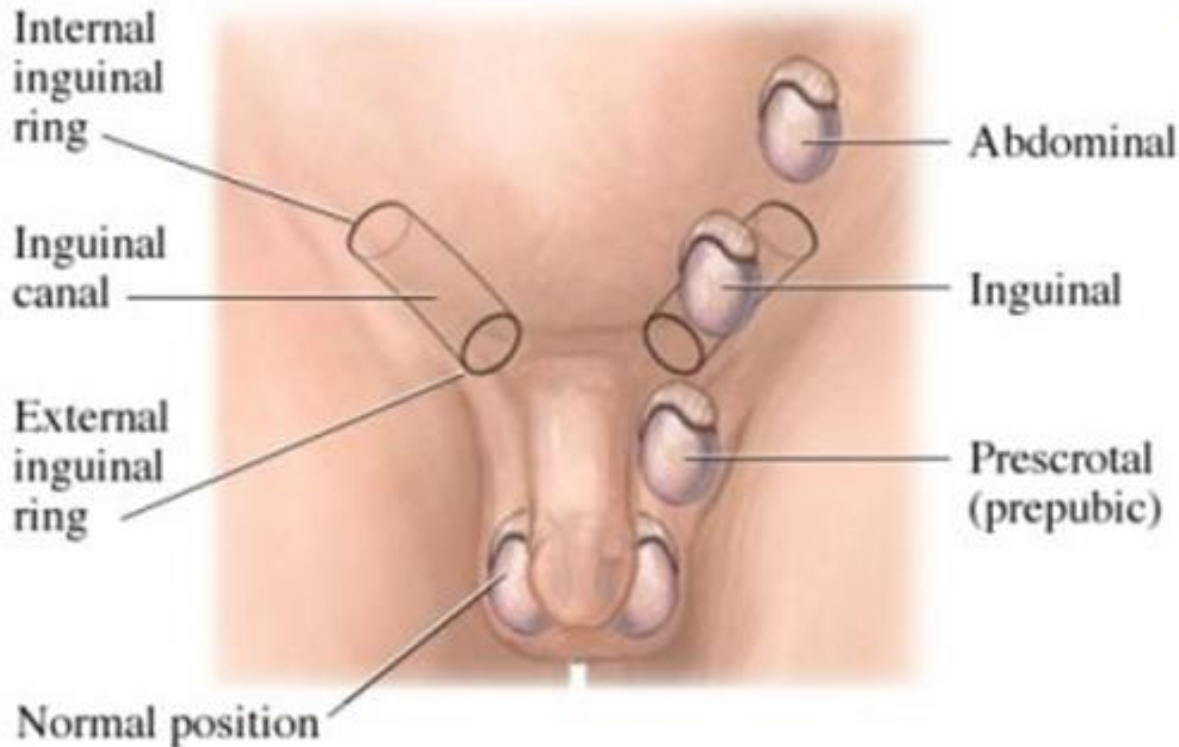
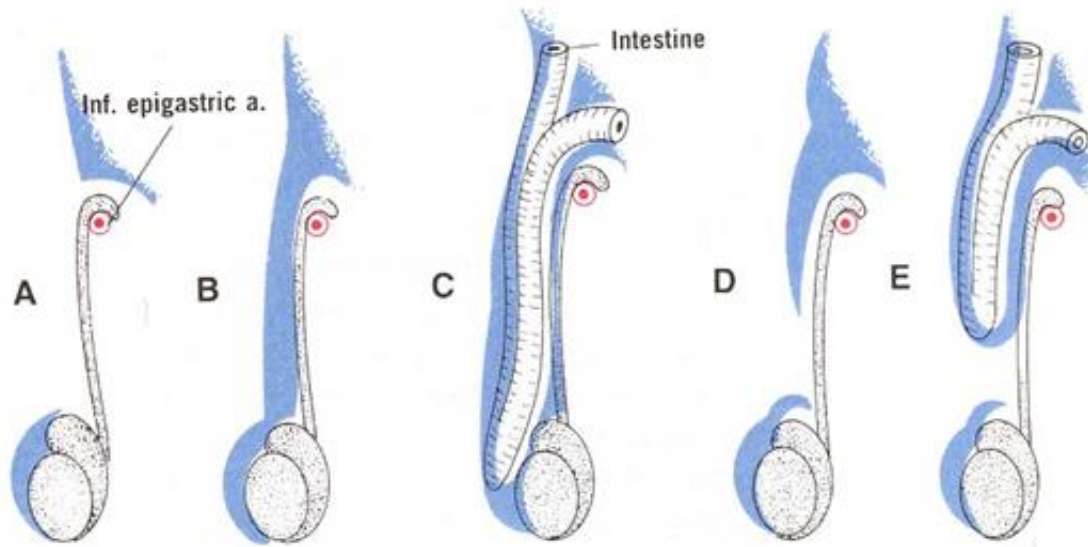


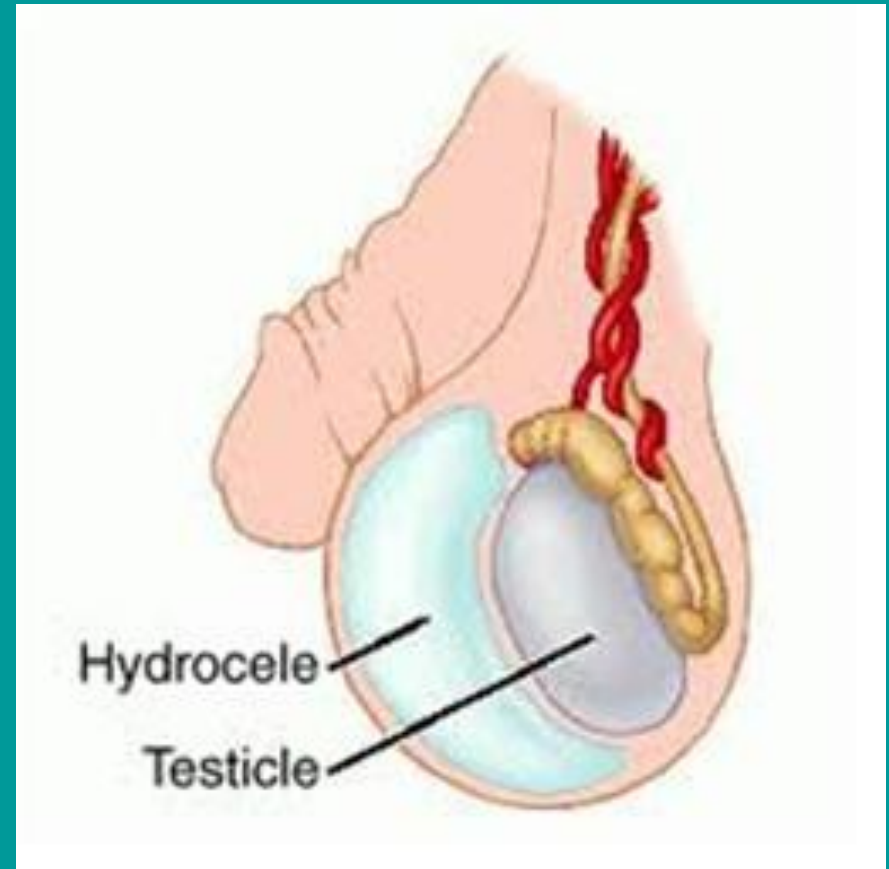
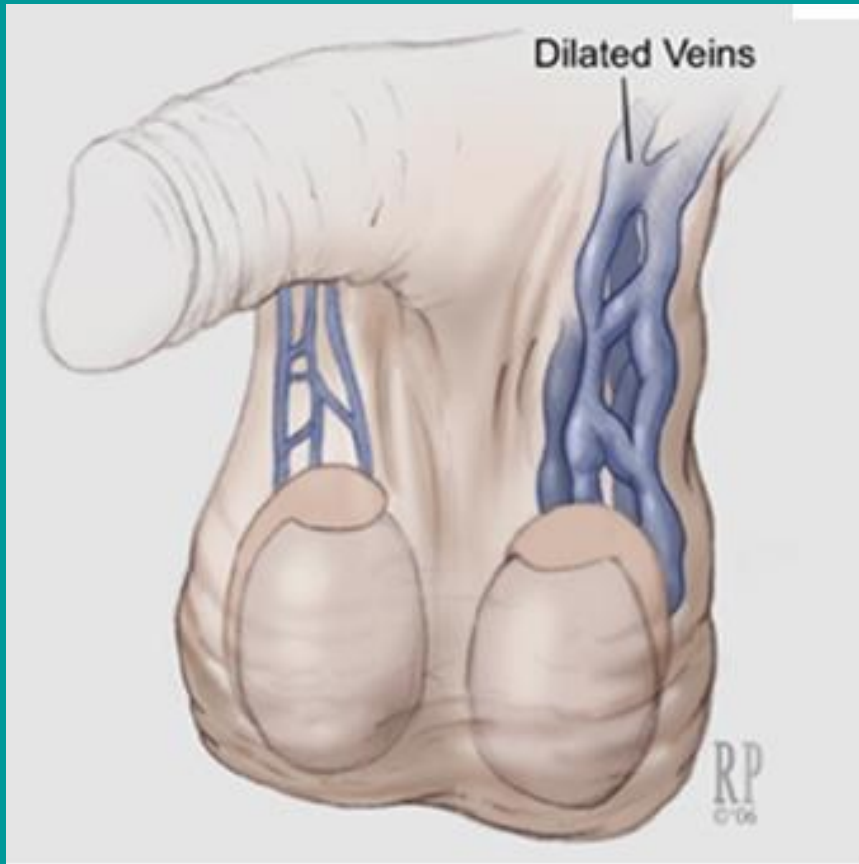
Obaly varlete a vrstvy skrota ve vztahu ke stěně břišní
před (A) a po (B) uzavření proc. vaginalis

Vrozené tříselné kýly- neuzavřený processus vaginalis

Kongenitalní inguinální Hernie

Kryptorchismus,
Retentio testis,
Ectopia testis,
Inversio testis





Varikokéla – varikozity testikulárních žil, ztížený žilní návrat, poruchy spermiogeneze a fertility

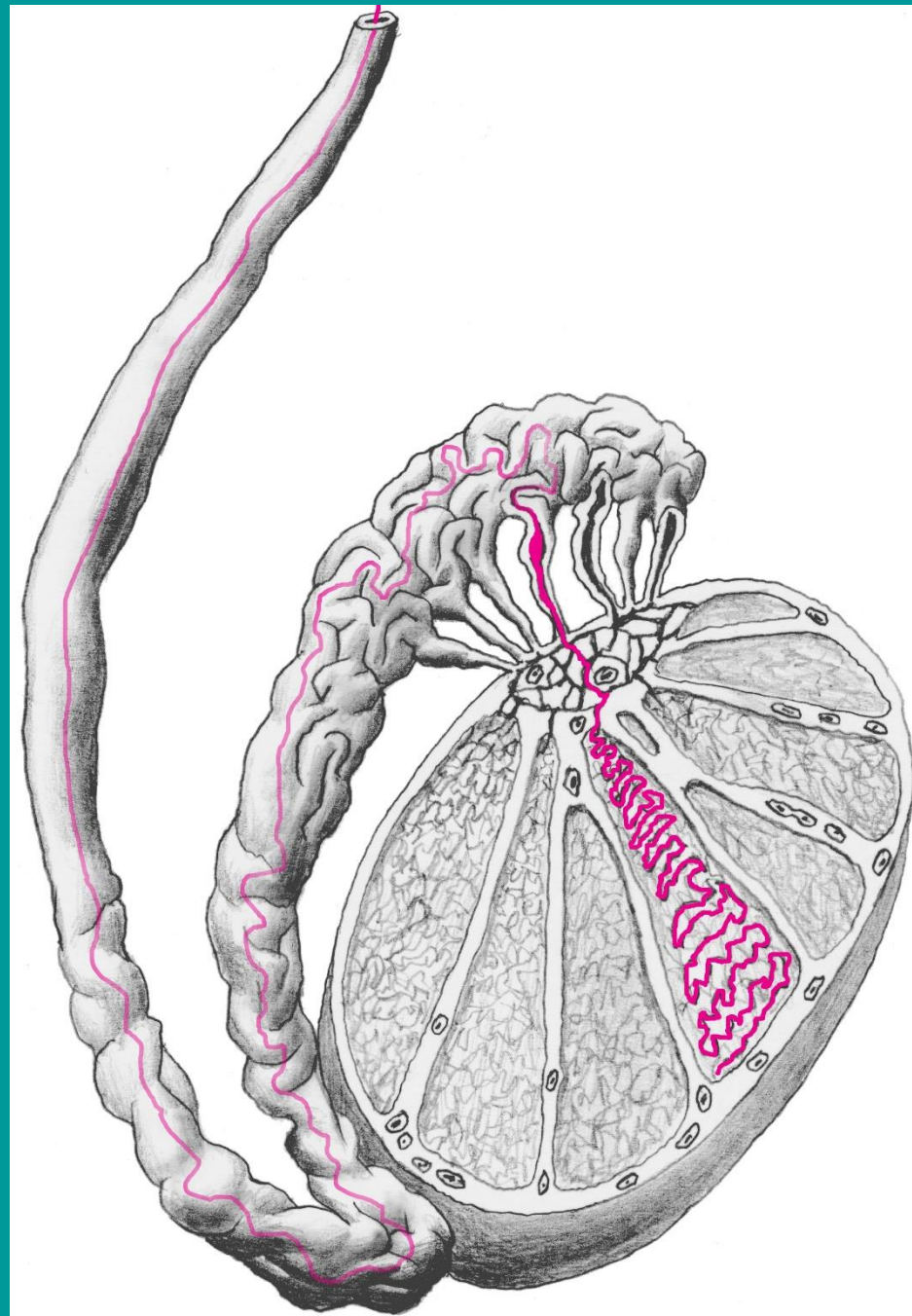
Hydrokéla – patologické zmnožení serózní tekutiny v cavum serosum scroti

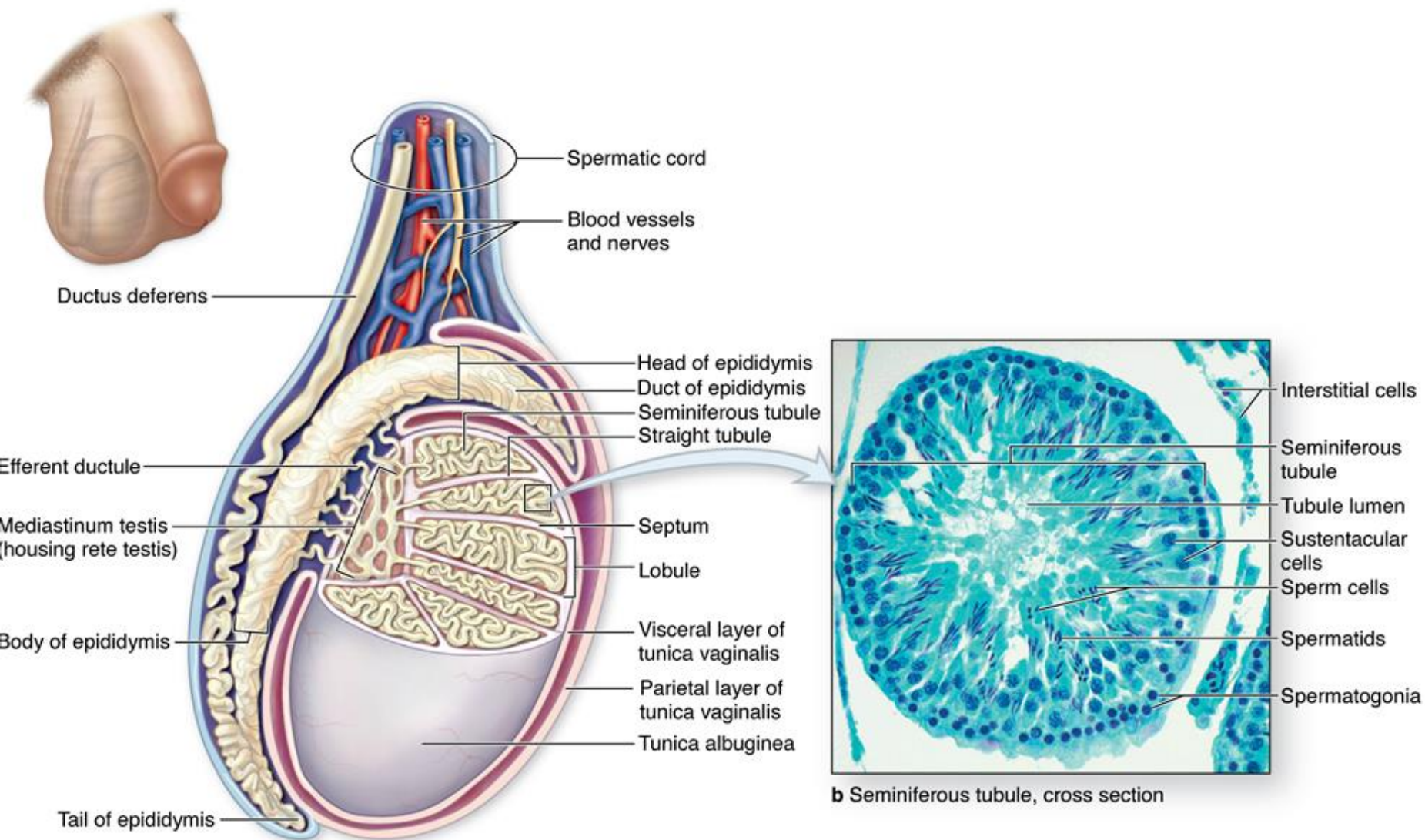
Testis

tunica albuginea,
tunica vasculosa,
mediastinum, septa, lobuli,
tubuli seminiferi,
tubuli recti,
rete testis, ductuli
efferentes,
spermatogonie,
Sertoliho podpůrné buňky
Intersticiální endokrinní
Leydigovy buňky

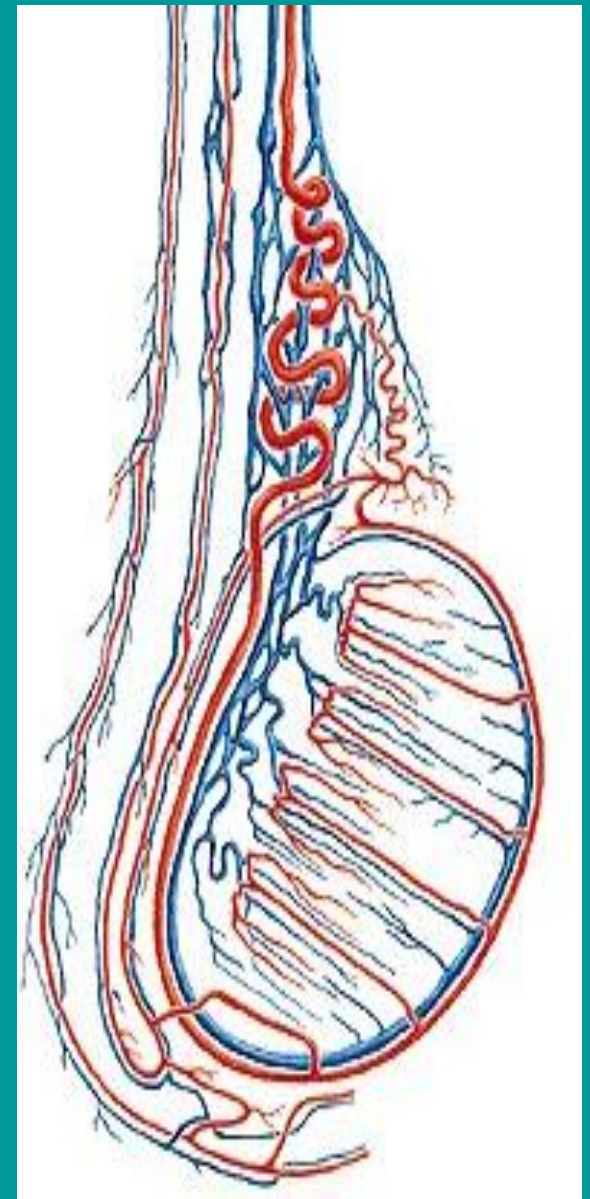
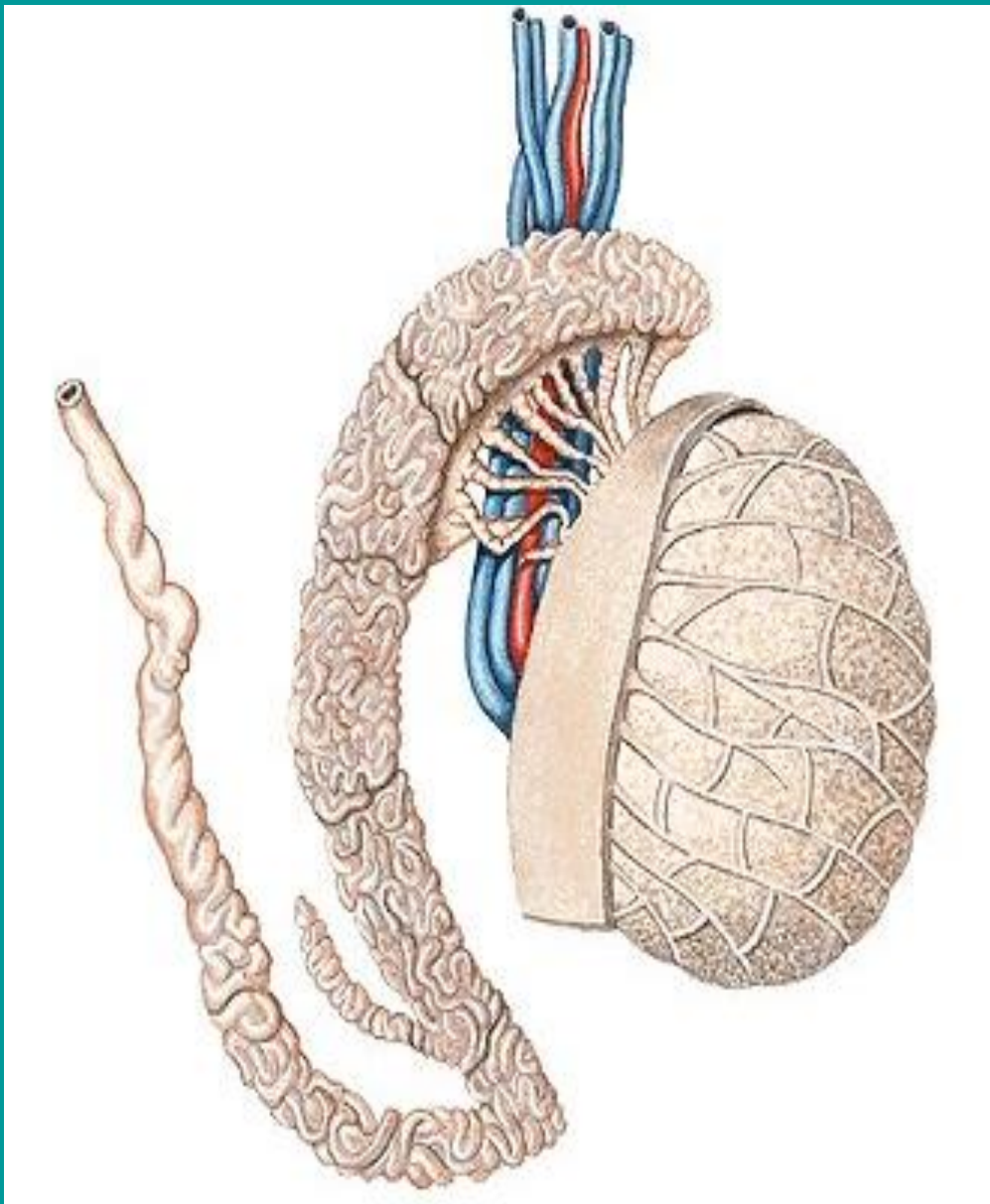
Epididymis

Caput, corpus, cauda,
Ductuli efferentes testis
ductus epididymidis



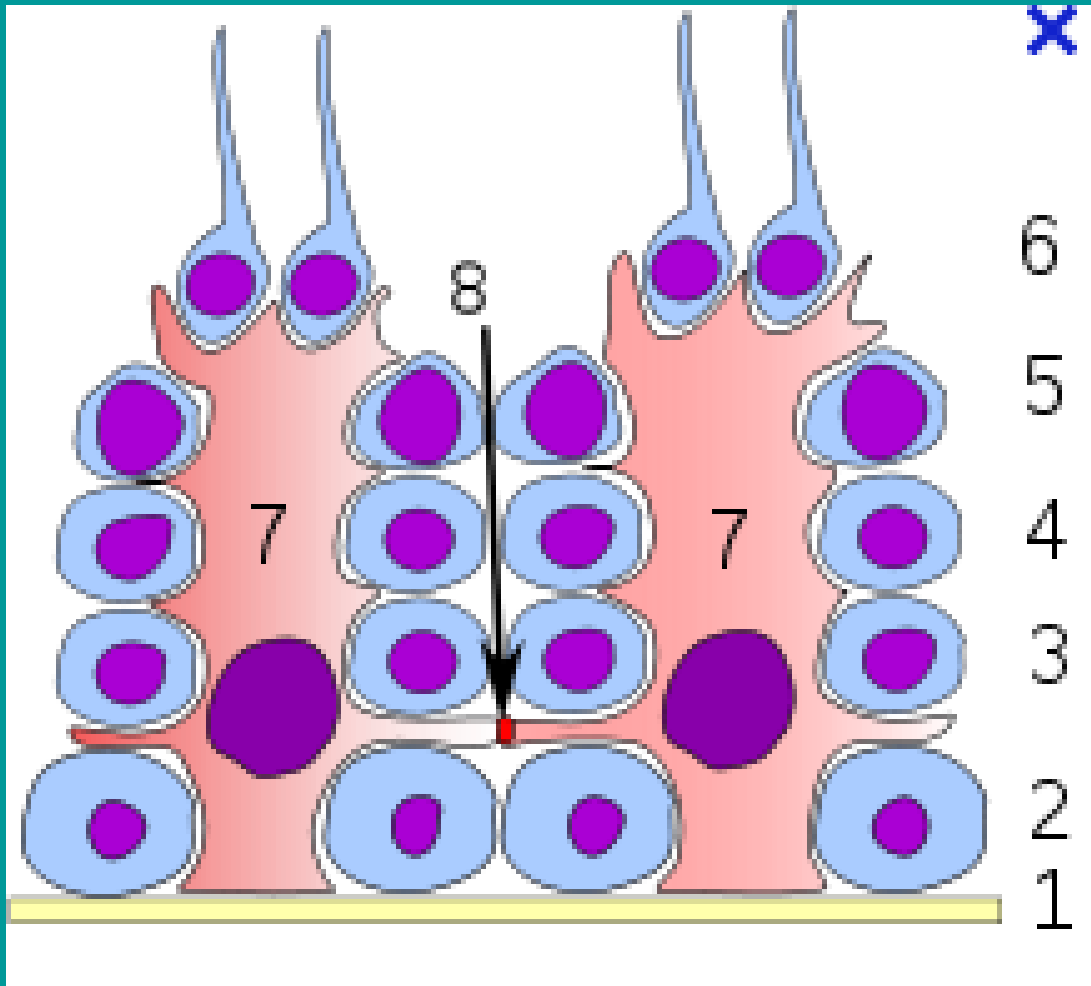


Testis a tubuli seminiferi, průměr 0,2 mm, délka 30-70 cm, celková délka 300 m, z toho tubuli seminiferi 4 - 6 m,



A. testicularis, a. ductus deferentis, a. cremasterica, plexus pampiniformis, v. deferentialis, protiproudový chlaldící systém

Sertoliho buňky



- 1 - basal lamina
- 2 - spermatogonia
- 3 - spermatocyte I
- 4 - spermatocyte II
- 5 - spermatide
- 6 - mature spermatide
- 7 - Sertoli cell
- 8 - tight junction

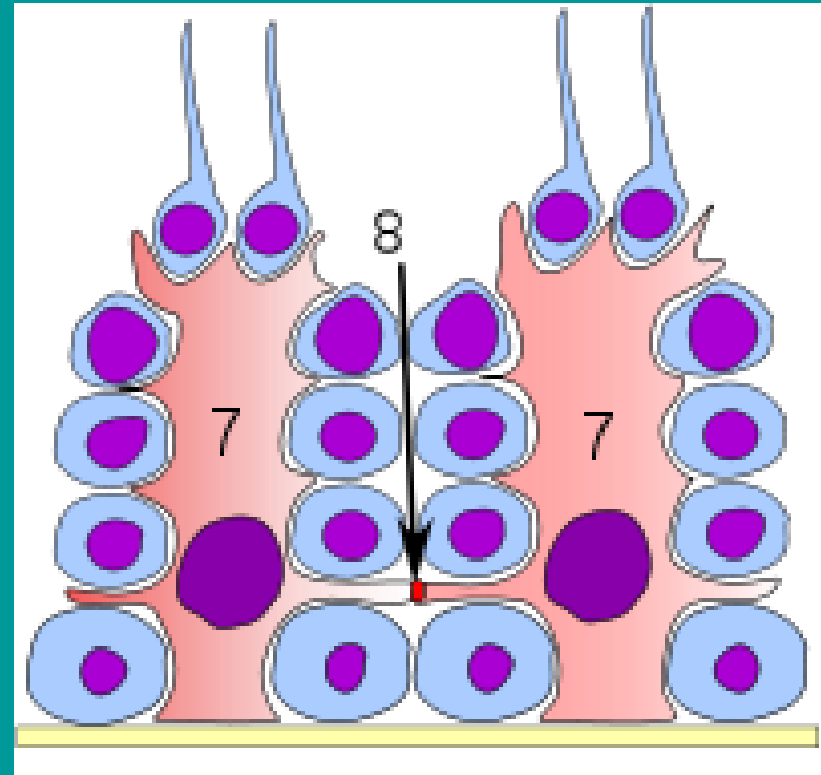
Funkce Sertoliho buněk

Klíčové buňky regulace spermatogenese

Tvoří bariéru krev - varle

Tvoří seminální tekutinu, které obsahuje protein, který váže androgeny

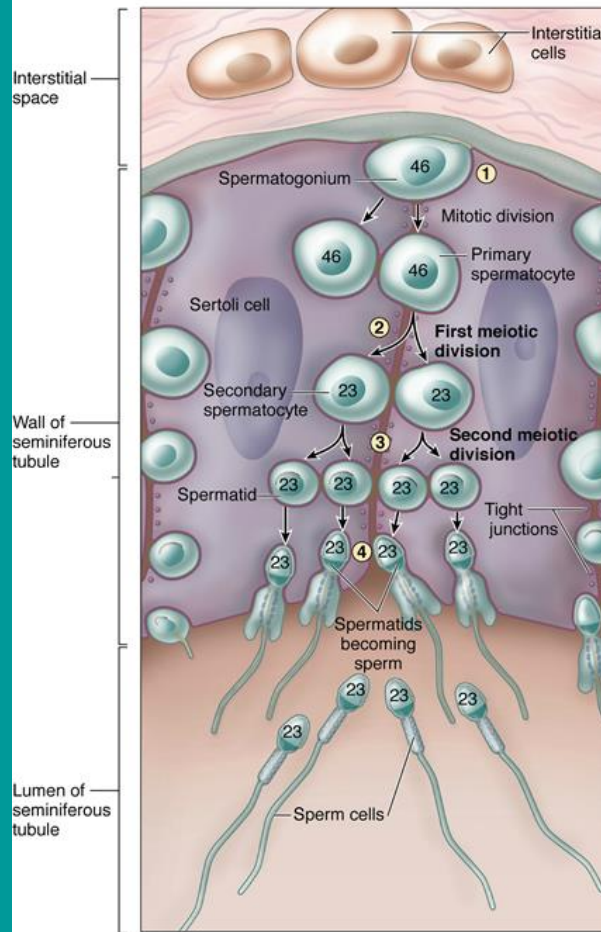
Tvoří AMH (Anti-Müllerian hormone) během vývoje mužského fenotypu



Spermiogenese až po zralou spermii v nadvarletí, trvá u člověka 82 dní. Každou hodinu opouští varle cca 1 milion spermií **Ejakulát** (2–6 ml) obsahuje 40 – 200 mil. spermií Méně než 10 mil /1 ml = **oligospermie**, sterilita

Spermatogenesis

Spermatogonia
primary
and secondary
Spermatocytes
Spermatides

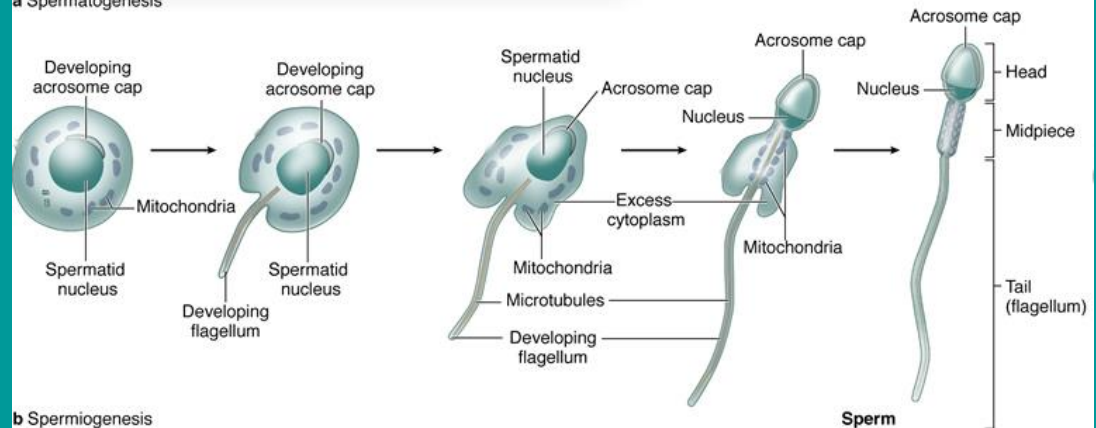


- 1 Germ cells that are the origin of sperm cells are *diploid cells* (containing 46 chromosomes, or 23 pairs) called spermatogonia. Mitotic divisions of these cells produce a new germ cell and a committed cell. The committed cell is a primary spermatocyte.
- 2 The first meiotic division begins in the *diploid* primary spermatocytes. The *haploid cells* (containing 23 chromosomes only) produced by the first meiotic division are called secondary spermatocytes.
- 3 The second meiotic division originates with the secondary spermatocytes and produces spermatids.
- 4 The process of spermiogenesis begins with spermatids and results in morphological changes needed to form sperm that will be motile.

a Spermatogenesis

Spermiogenesis

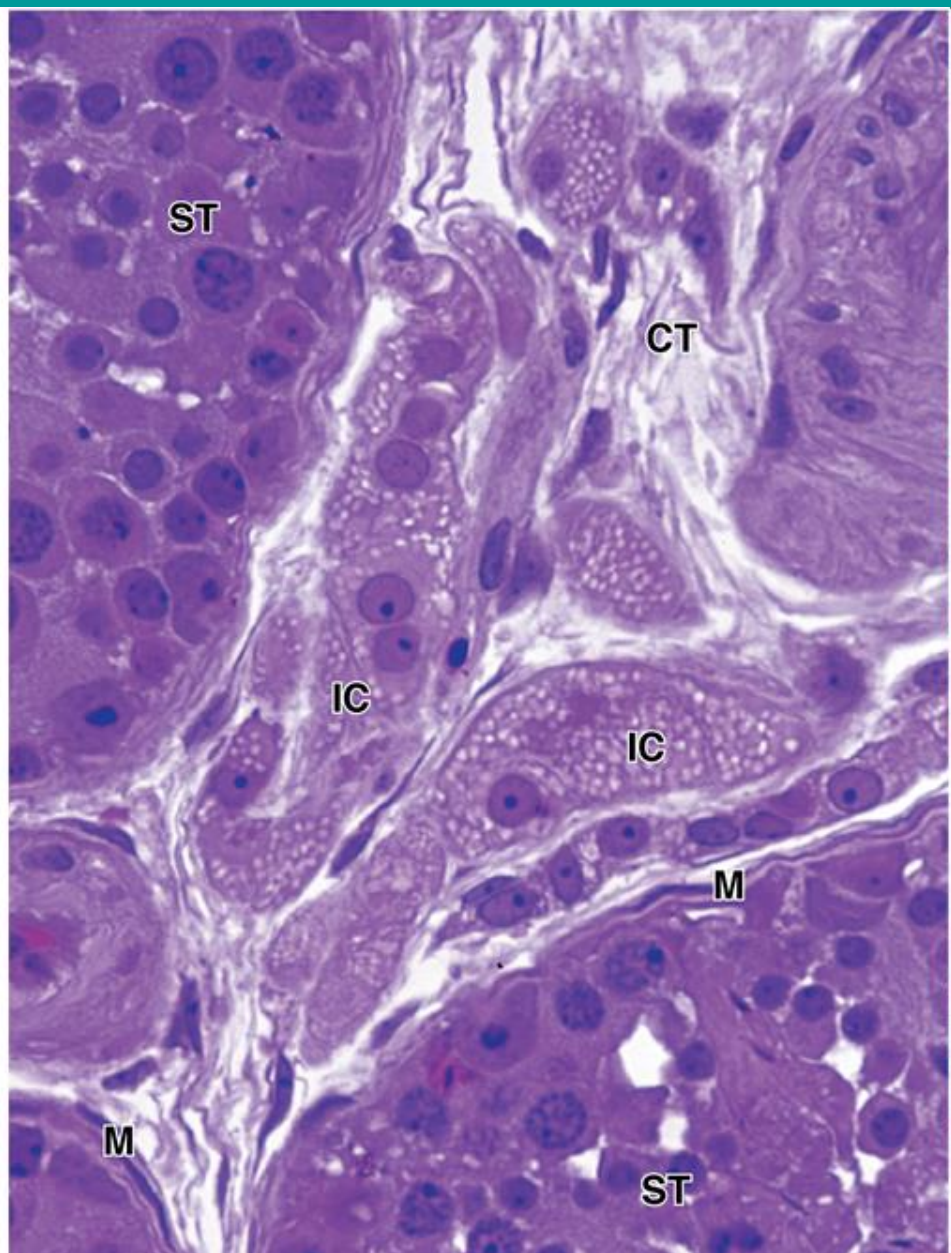
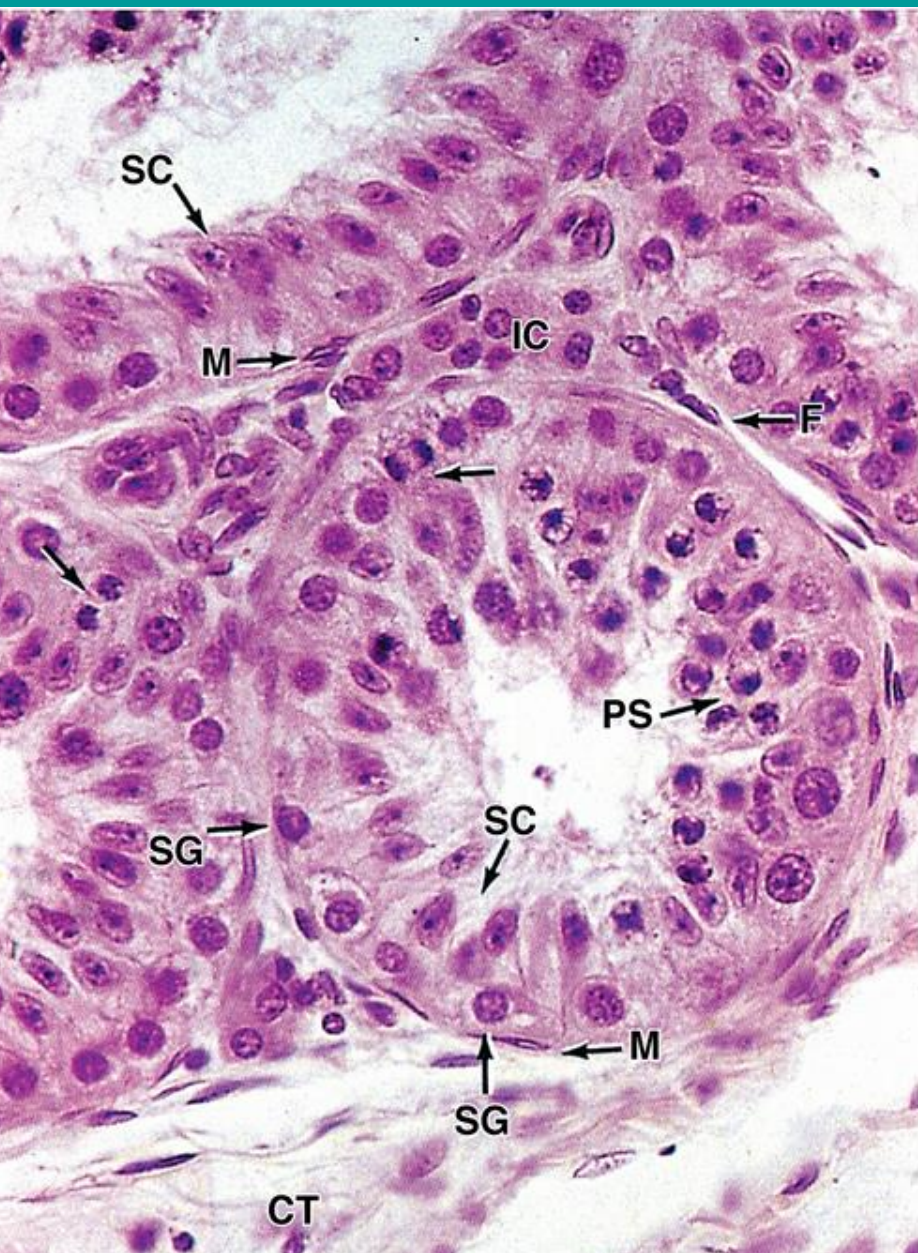
Spermatides
Motile sperm



b Spermiogenesis

Sperm

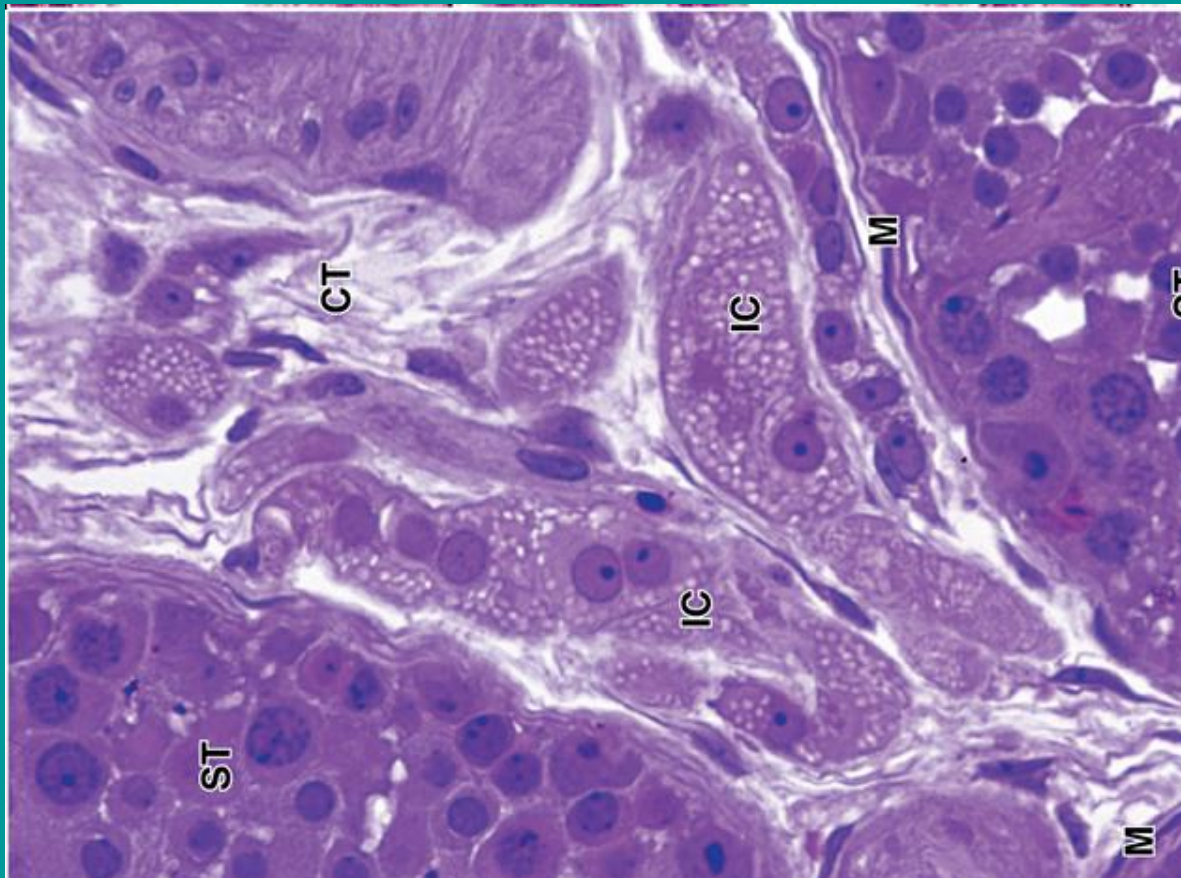




Stavba varlete: tubuli seminiferi: podpůrné Sertoliho buňky, spermatogenní buňky, intersticiální Leydigovy buňky produkující androgeny

Leydigovy buňky syntetizují testosteron

- a) 8. - 14. týden vývoje – maskulinizuje pohlavní systém
- b) v dospělosti od puberty – spermatogenese, růst pohlavních orgánů, sekundární pohlavní znaky



Vývojové poruchy maskulinizace mužských pohlavních orgánů

- od r. 1950 klesl počet spermií v ejakulátu o 40 - 50 % a narostl výskyt kryptorchismu, hypospadie a nádorů z provopohlavních buněk
- podávání estrogenů gravidním samicím v období, kdy se jejich plodům samčího pohlaví diferencuje gonáda a maskulinisují pohlavní cesty, má za následek zvýšený výskyt kryptorchismu a hypospadie, snížení hmotnosti varlat a **defektní spermioqram**.
- totéž ukázalo vyšetření mužů, kteří se narodili matkám, jímž byl v letech 1945 - 1970 podáván diethylstilbestrol k prevenci potratu.

Feminizační faktory:

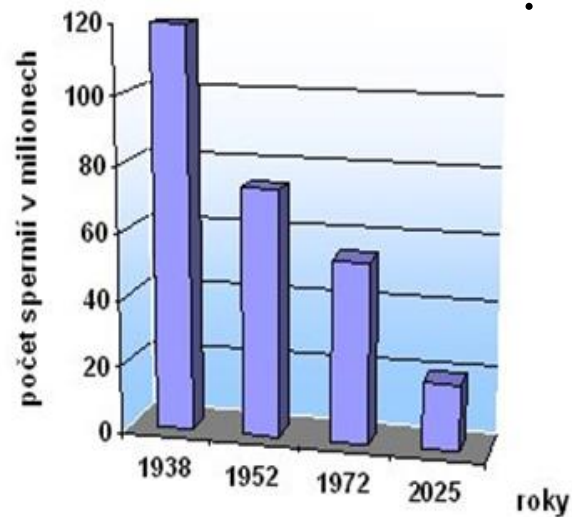
- **exogenní estrogenuy** produkované farmaceutickým průmyslem
- látky s estrogením účinkem vazbou na estrogenové receptory: **DDT, polychlorované bifenyly, chlorované uhlovodíky a detergencia** používaná v pracích a čistících prostředcích,
- jsou rozpustné v tucích, hromadí v potravním řetězci i v našem organismu, který obsahuje více tuků než v minulosti.

Je proto pravděpodobné, že stoupající frekvence morfologických a funkčních abnormalit samčího reprodukčního systému, je důsledkem těchto změn (podle Gray's Anatomy, 38. vydání).

Normální hodnoty spermiogramu podle Světové zdravotnické organizace 2006

Objem	2 a více ml
pH	7,2 a více
Koncentrace spermií	20 000 000 / ml a více
Celkové množství spermií	40 000 000 a více
Pohyblivost	50% pohyblivých nebo 25% progresivně pohyblivých
Morfologie	nejméně 30% morfologicky zcela normálních spermií

Historický vývoj počtu spermií v ejakulátu



P. Hušáková; Z. Ulčová-Gallová; K. Bibková; Z. Mičanová [Čas. Lék. čes. 2008; 147: 85-88](#)

Vzorky získané od 110 vysokoškoláků v Plzni:

Normozoospermie byla zjištěna v 72 % vzorků.

Na 5% hladině významnosti jsme nepotvrdili negativní vliv nikotinu, užívání drog, nošení těsného prádla, horkých koupelí a saunování na kvalitu spermatu. Ve skupině s patologickým spermioqramem významné procento studentů konzumuje více jak dvakrát týdně konzervované či kořeněné potraviny oproti skupině s normálním spermioqramem (nad 15 miliónů spermií /ml)

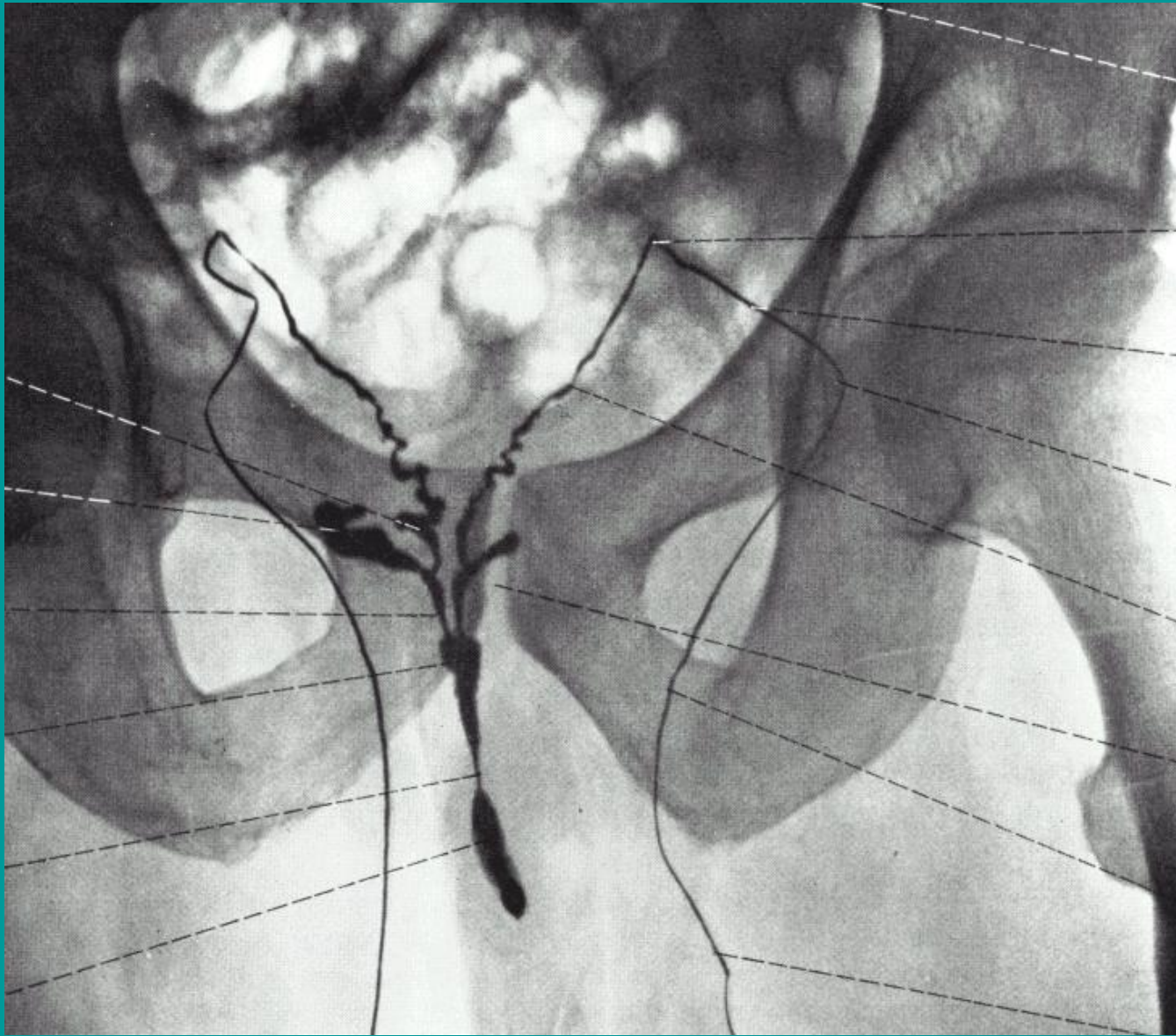
Presl J: Prekoncepční volba pohlaví. Čs. Gynekologie
47,3: 149 – 151, 1983

Úvaha o prekoncepční volbě pohlaví je založená na rozdílné vitalitě X a Y spermii a na změnách pH v pochvě v průběhu cyklu.

Rychlé a choulostivé Y spermie lépe penetrují a přežívají v době ovulace, kdy má cervikální sekret alkaličtější pH a je tak hojný, že neutralisuje kyselé pH v pochvě. To vytváří optimální podmínky pro migraci rychlých a choulostivých Y spermií. Naopak před ovulací jsou díky kyselému poševnímu a cervikálnímu prostředí vytvořeny hostilní podmínky pro přežití Y spermii a uplatní se spíše X spermie.

Při koitu 1 den před a až 2 dny po ovulaci bylo zaznamenáno 87% porodu chlapců. Naopak po koitu 3 – 5 dní před ovulací byl zaznamenán porod 85% děvčátek.

(zatím stále nemáme k dispozici jednopohlavní suspensi spermii pro arteficiální inseminaci).



Ductus deferens: pars scrotalis, pars funicularis, pars inguinalis, pars pelvica, ampulla, ductus excretorius, ductus ejaculatorius

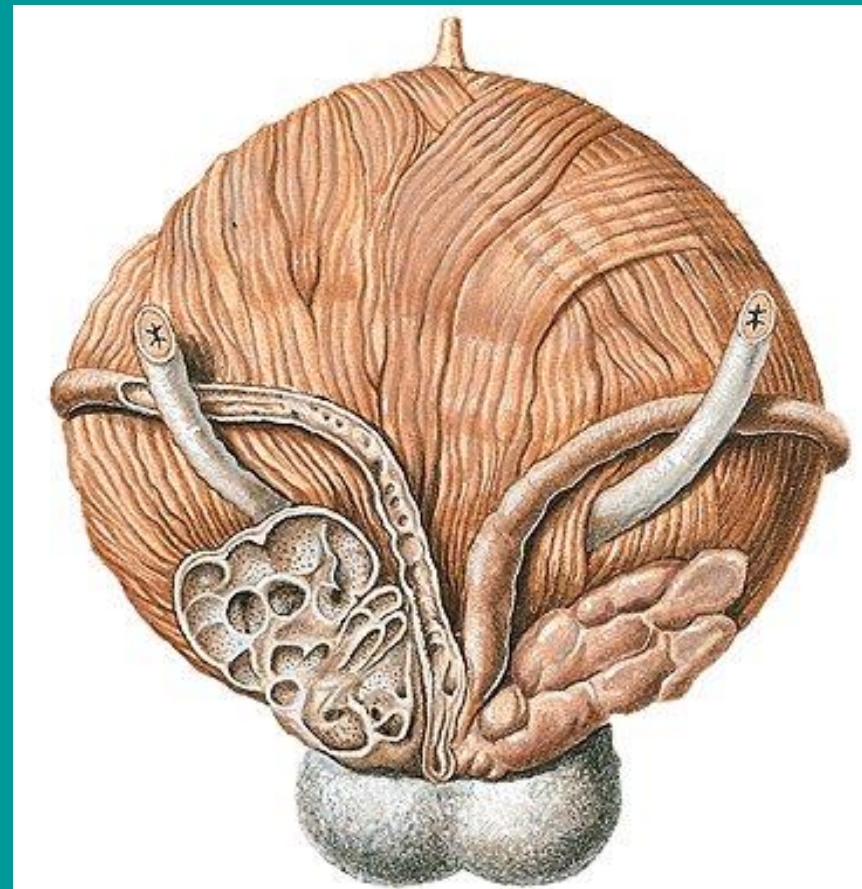
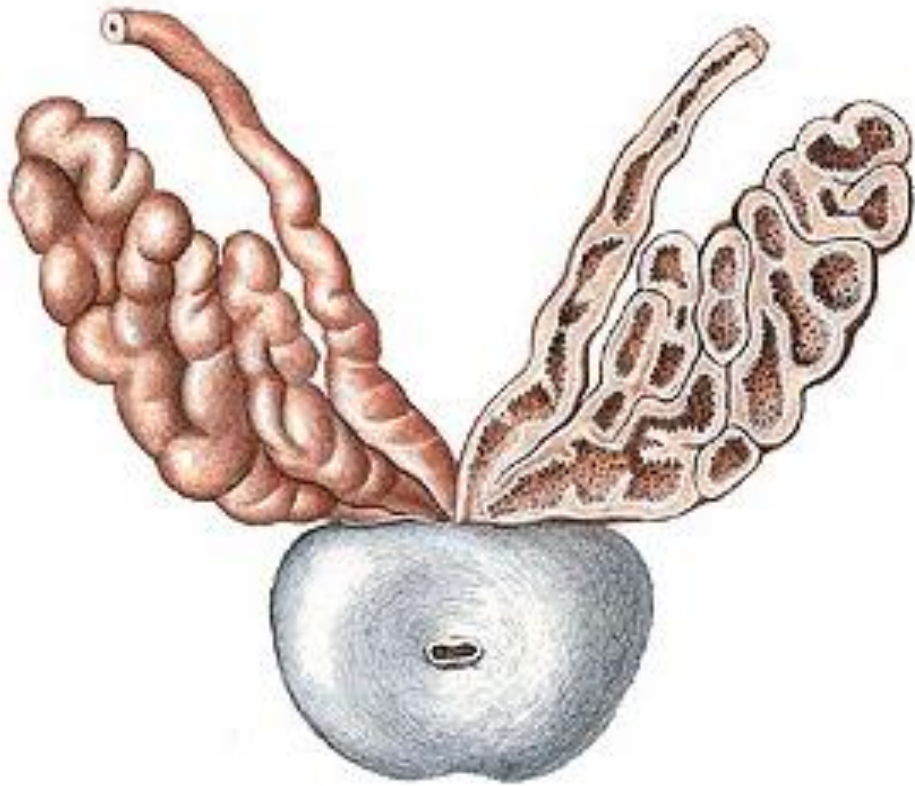


Epididymis,

Ductus epididymis - stočené kanálky nadvarlete; Jsou zásobárnou spermií, které v tam dozrávají a získávají, schopnost pohybu a oplodnění vajíčka.

Nejsou-li nahromaděné spermie odvedeny při ejakulaci, postupně se rozpadají a jsou fagocytovány makrofágy.

V nadvarleti vzniká i hlenovitý sekret, který má význam pro látkovou výměnu spermií.



Glandulae vesiculosae, ductus excretorius, ampullae ductus deferentis, trigonum interampullare vesicae urinariae; sekret gl. vesiculosae tvoří 50–80% objemu ejakulátu. Obsahuje bílkoviny, enzymy, fruktosu, vit. C. Alkalické pH neutralizuje kyselé prostředí pochvy, fruktosa je hlavním zdrojem energie pro spermie

Funiculus spermaticus

A. testicularis, v. testicularis (plexus pampiniformis)

Ductus deferens, a.+ v. ductus deferentis

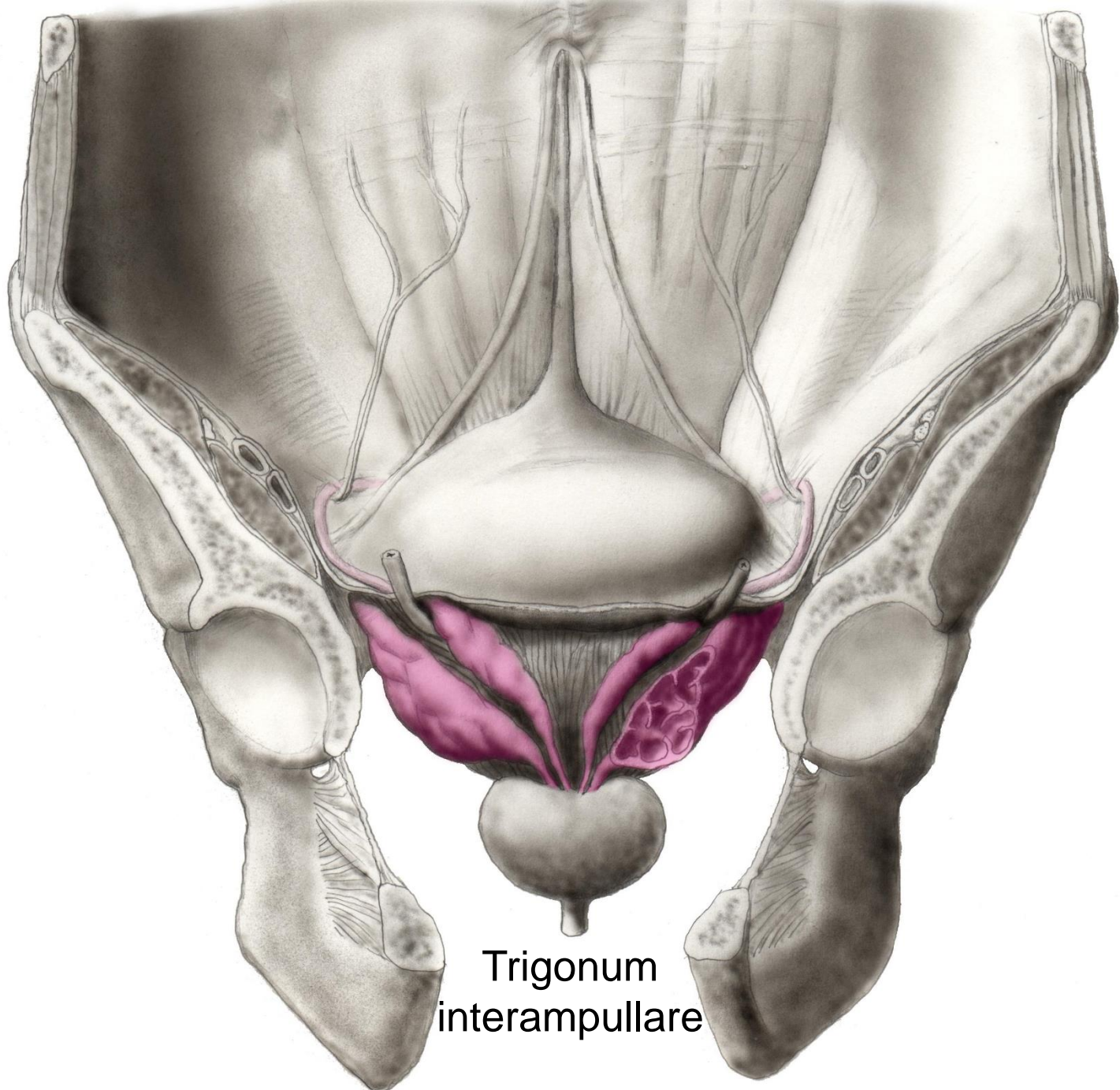
Ductus deferens

Pars pelvica, pars inguinalis, pars funicularis, pars scrotalis, ampulla ductus deferentis

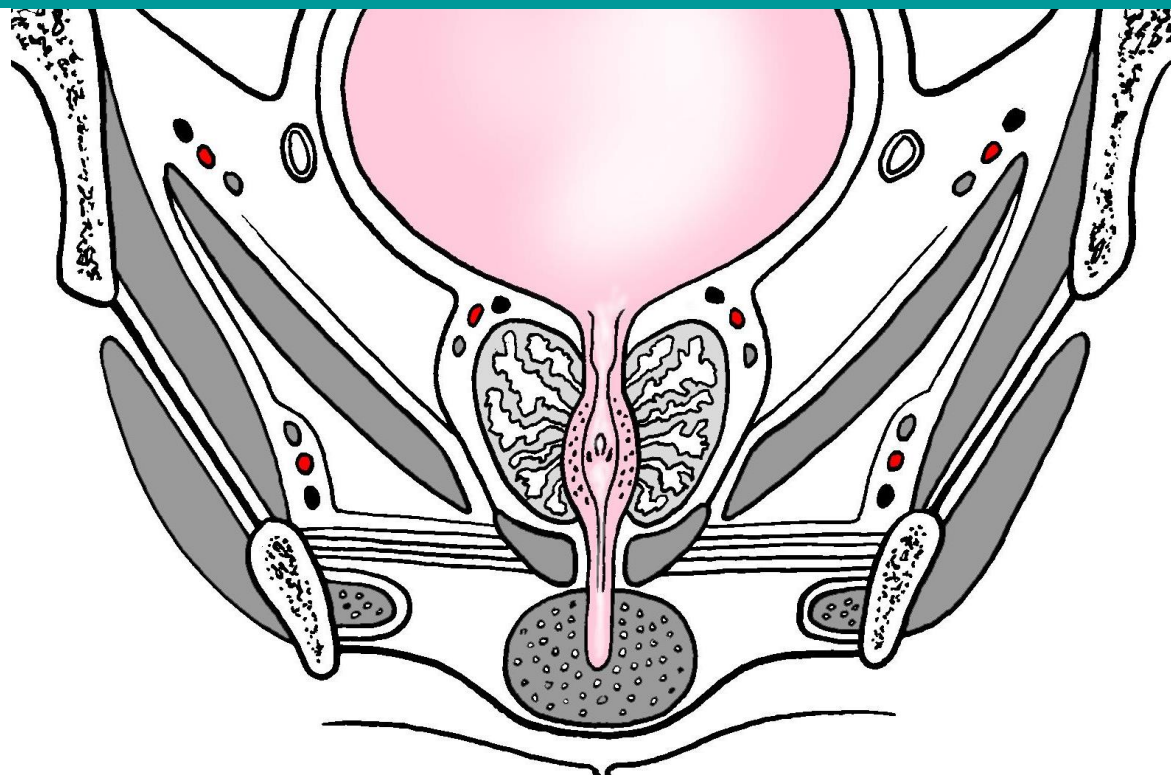
Glandula vesiculosa (vesicula seminalis)

Ductus excretorius

Ductus ejaculatorius

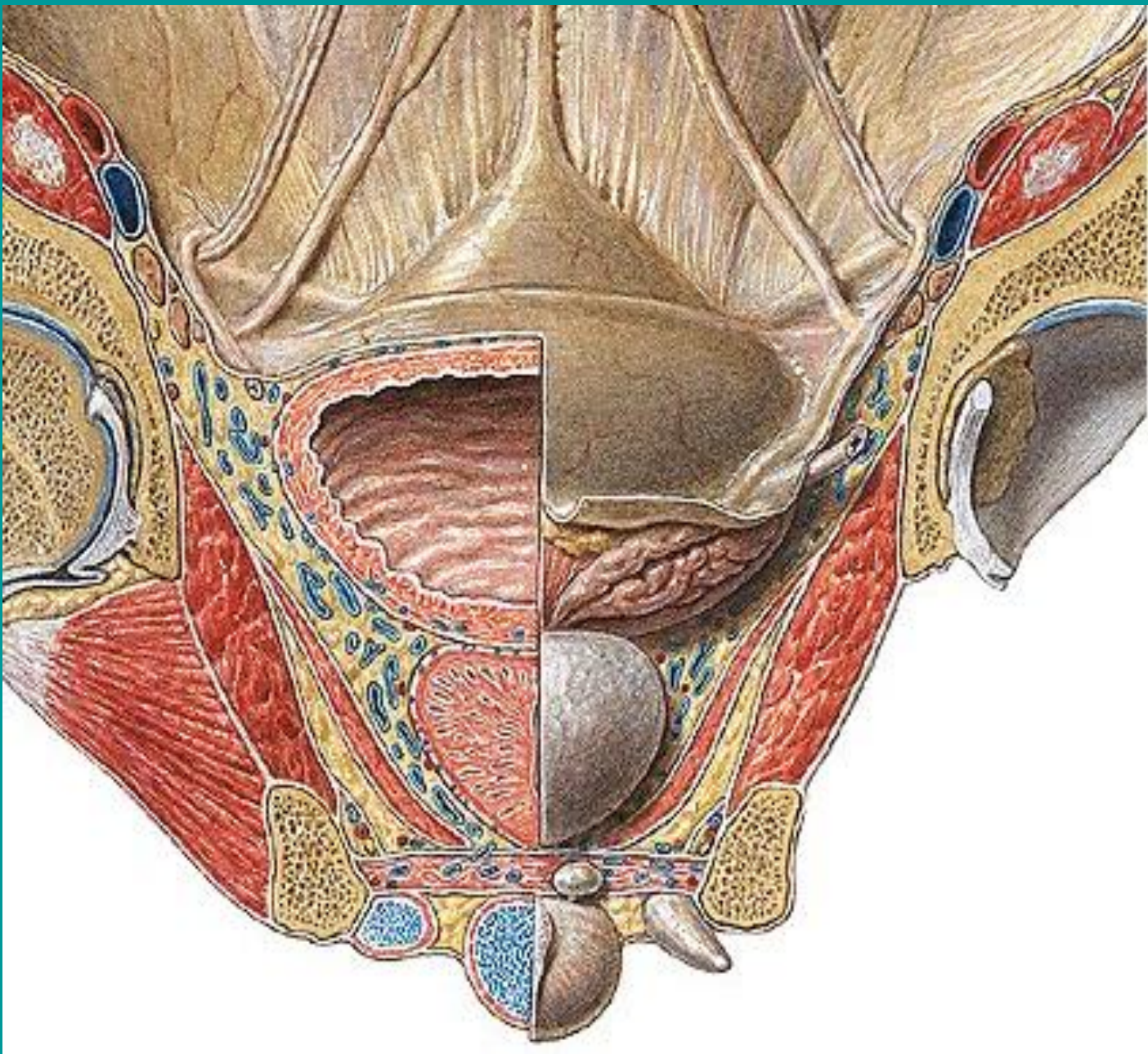


Trigonum
interampullare

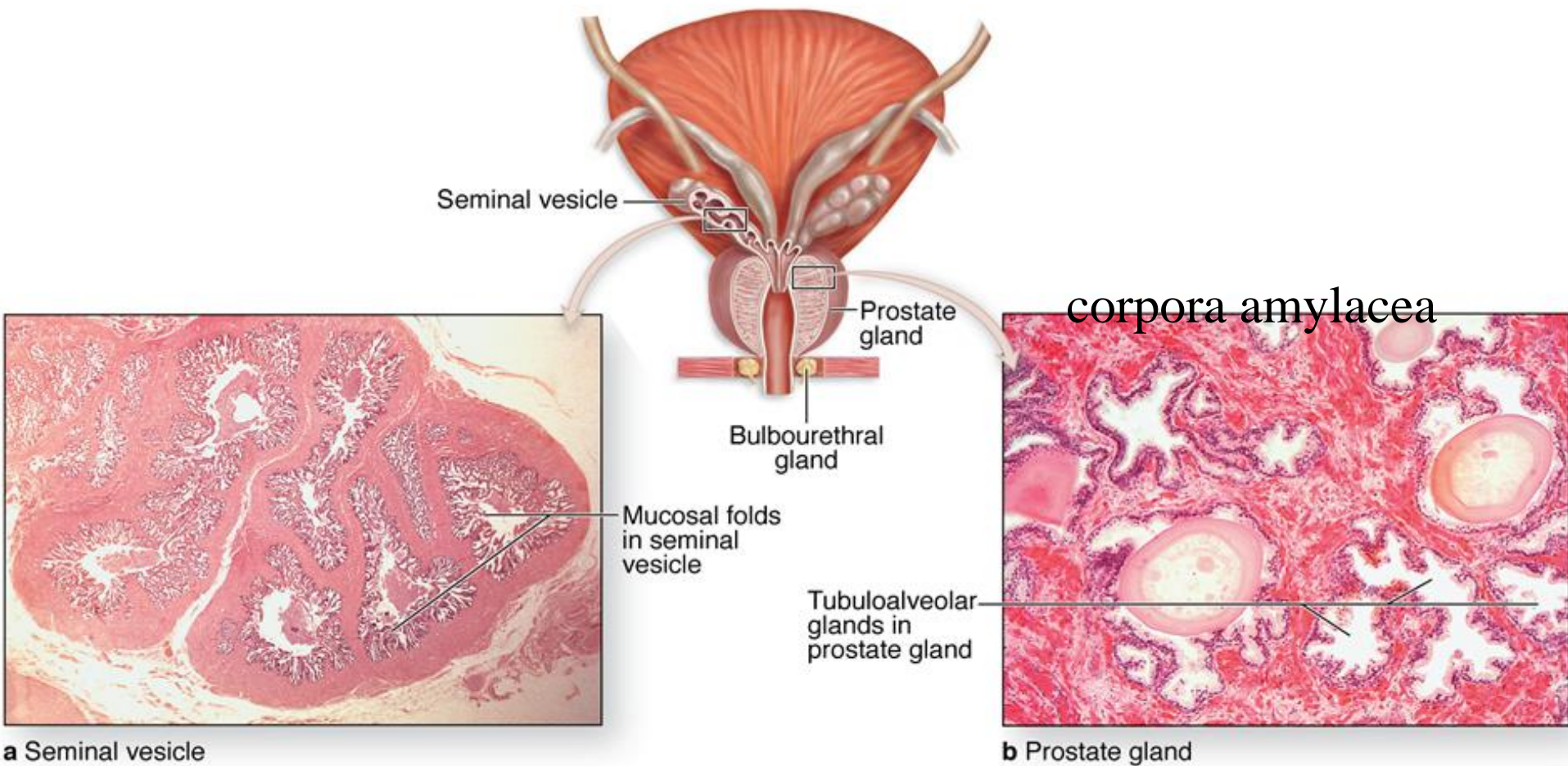


Prostata: substantia glandularis, substantia muscularis, basis, apex, facies anterior, posterior, inferolateralis, capsula propria, capsula periprostatica, lobus dexter, sinister, ductuli prostatici, sinus prostaticus

Vazivové stroma prostaty a její uložení hluboko v malé pánvi představuje mechanickou ochranu biologicky významného spojení pohlavních cest s močovou trubicí

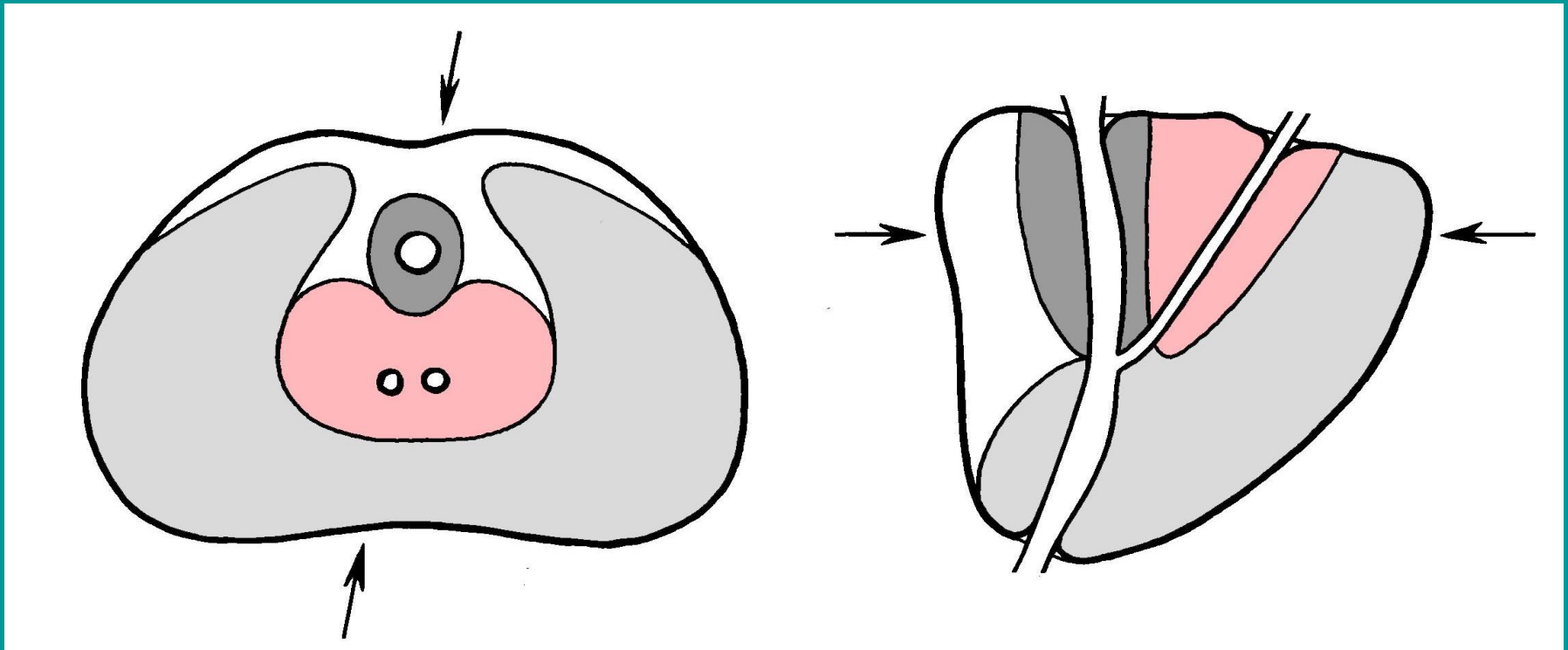


Syntopie prostaty

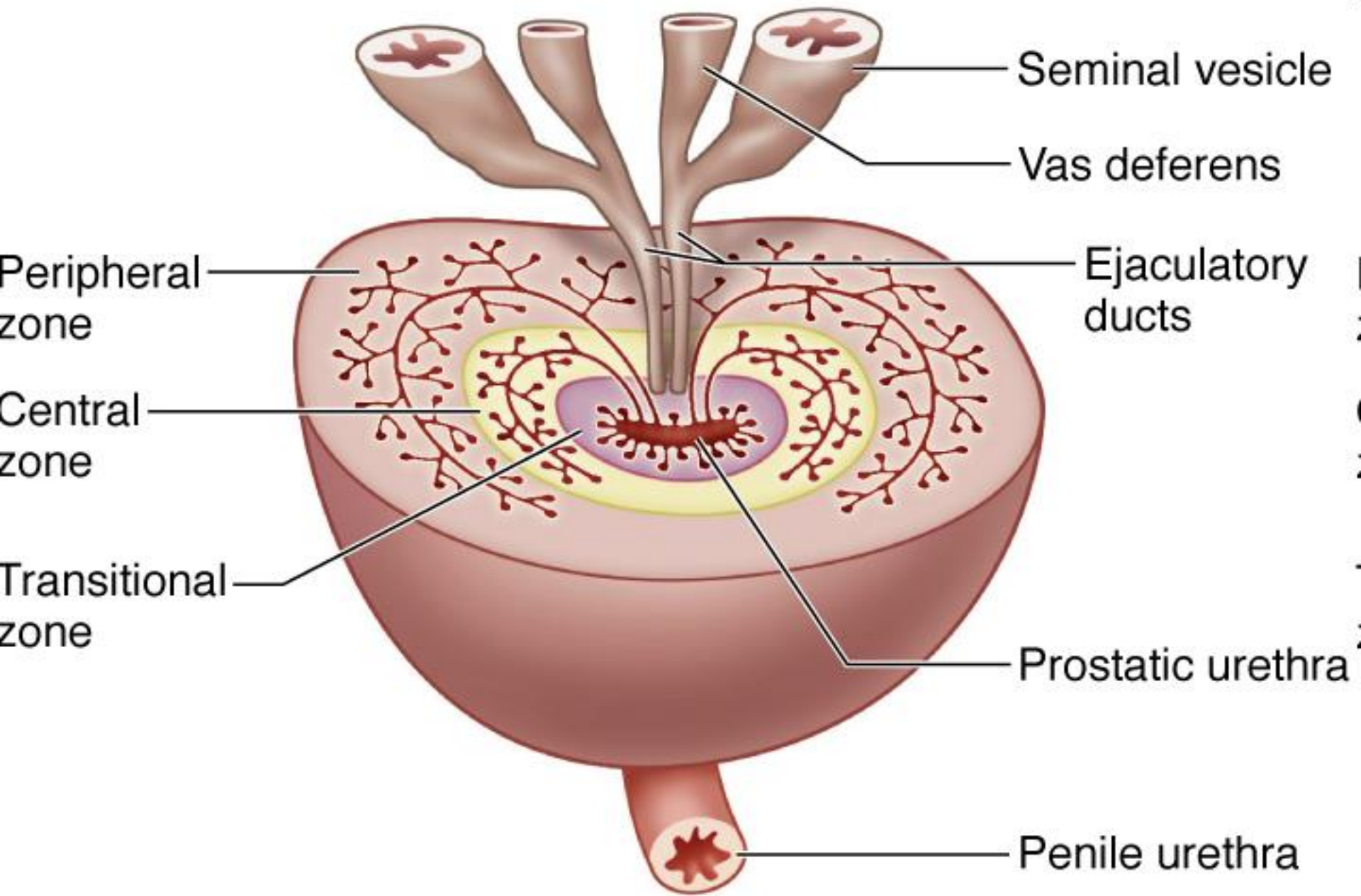


Prostatu tvoří žlázní složka, kterou obklopuje fibromuskulární stroma. Tuboalveolární žlázy prostaty tvoří sekret, který je součástí ejakulátu, a který je významný pro transport a výživu spermii

Tři zóny prostaty podle McNeala (1968) na transverzálním a šikmém sagitálním řezu: světle šedě periferní zóna, růžově – centrální zóna, tmavě šedě - přechodní zóna a periuretrální žlázy, bíle – ventrální úsek tvořený vazivem a hladkou svalovinou; urethra, ductus ejaculatorii

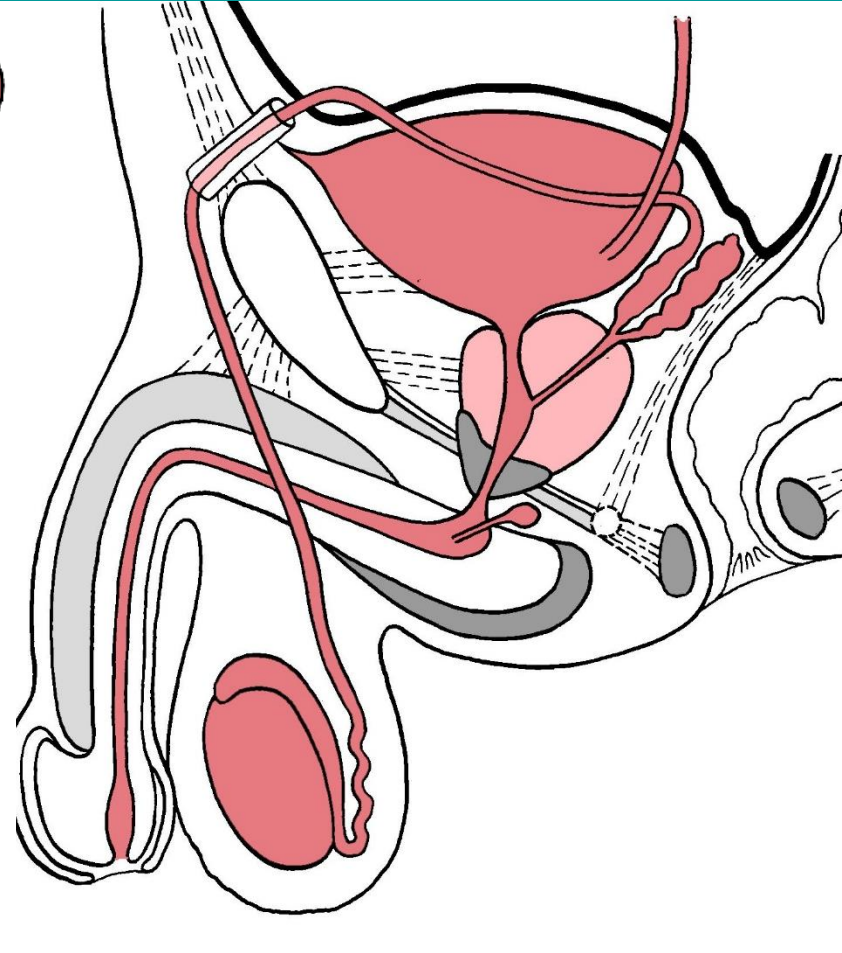
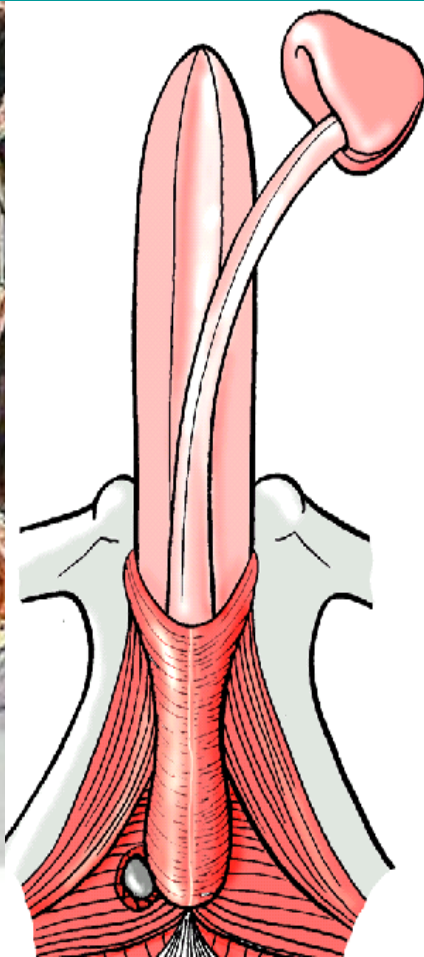


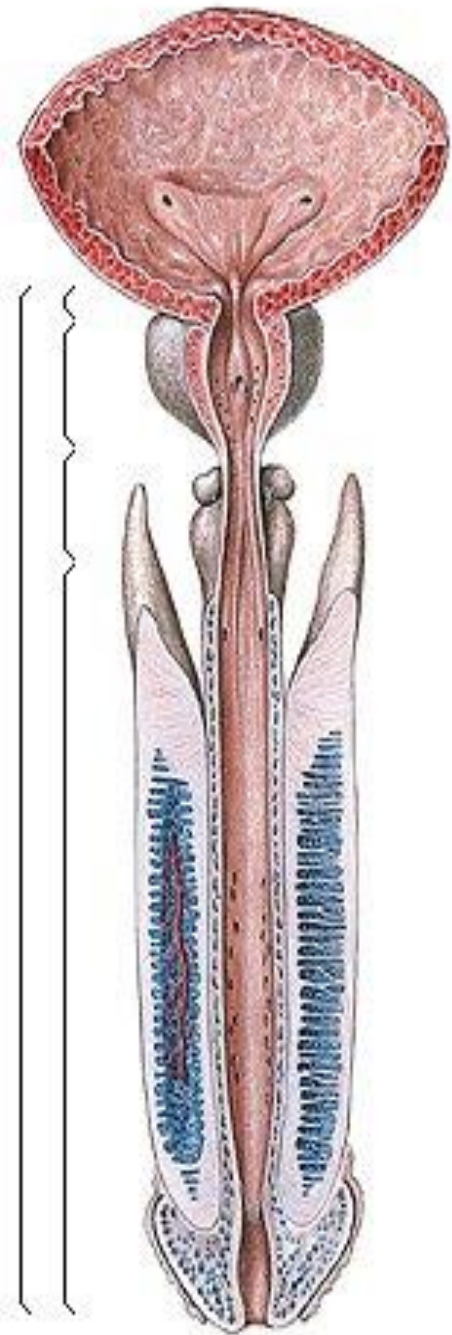
Hypertrofie prostaty - hypertrofie periuretrálních žláz: zúžení uretry, obtížná mikce. Karcinom prostaty ze žláz periferní zóny prostaty. Adenom prostaty - ze žláz centrální zóny



Organization of the prostate: mucosal glands, submucosal glands, main glands

Penis – radix, corpus, crus, dorsum, facies urethralis, raphae, lig. suspensorium, lig. lig. fundiforme, curvatura subpubica, curvatura prepubica

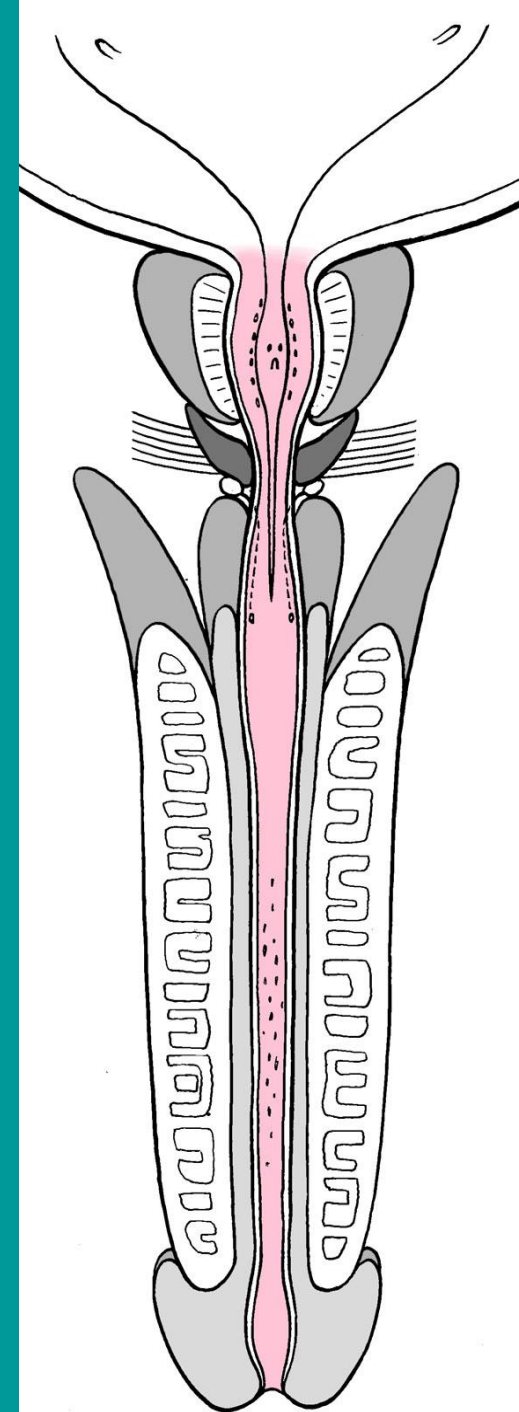


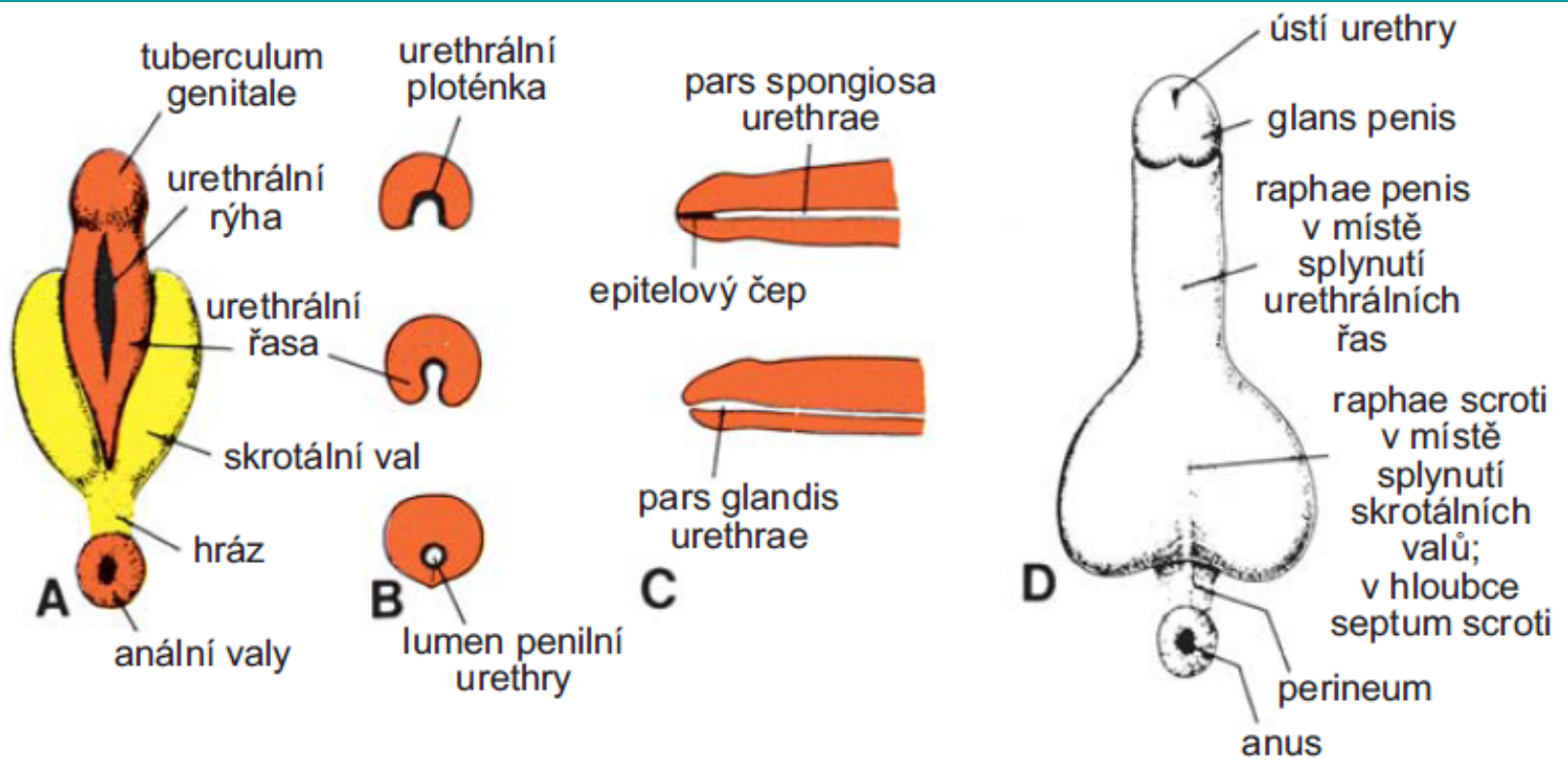


Urethra masculina

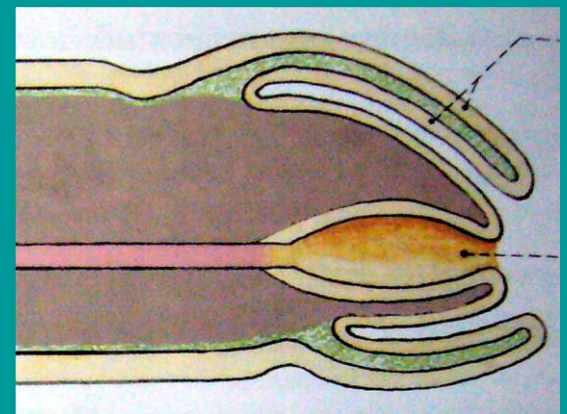
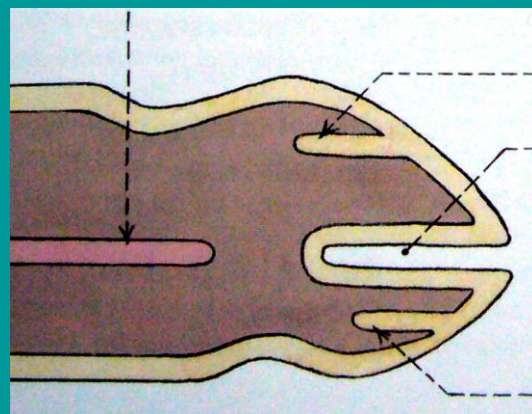
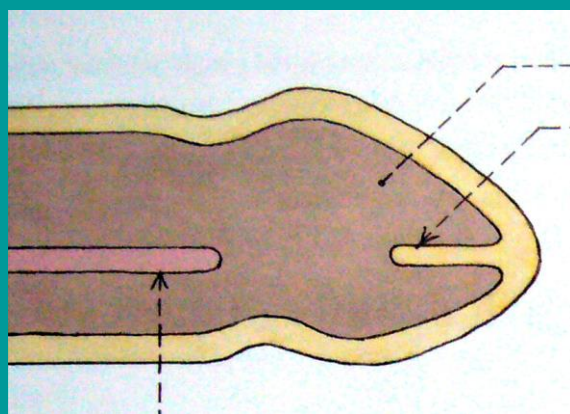
Ostium urethrae internum
(accipiens, evacuans),
pars intramuralis, prostatica,
membranacea, spongiosa,
pars glandis, ostium
urethrae externum,
fossa navicularis

colliculus seminalis,
utriculus prostaticus,
sinus prostaticus,
sphincter urethrae internus,
sphincter urethrae externus,
glandulae urethrales,
lacunae urethrales,

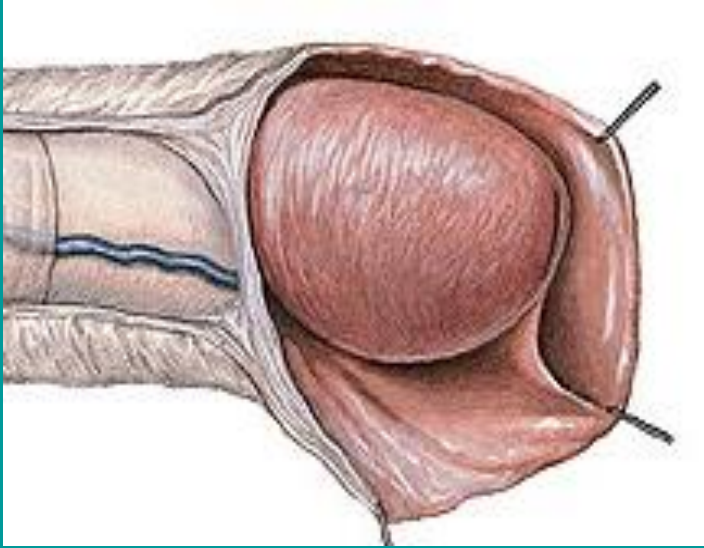




Obr. 15.33 **A.** Vývoj mužských zevních pohlavních orgánů, 10. týden. Hluboká uretrální rýha je ohraničena urethrálními řasami. **B.** Příčné řezy penisem během vývoje pars spongiosa urethrae. Urethrální rýha se uzavírá splynutím pravé a levé urethrální řasy. **C.** Vývoj pars glandis urethrae.



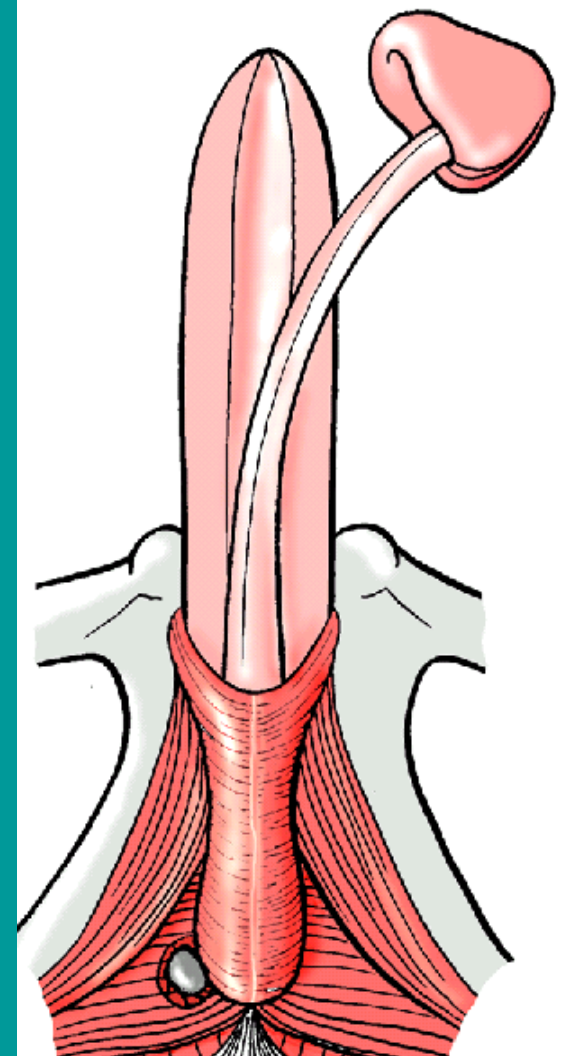
Corpus cavernosum penis, crus, corpus spongiosum, bulbus, m. ischiocavernosus, m. bulbospongiosus, glandula bulbourethralis

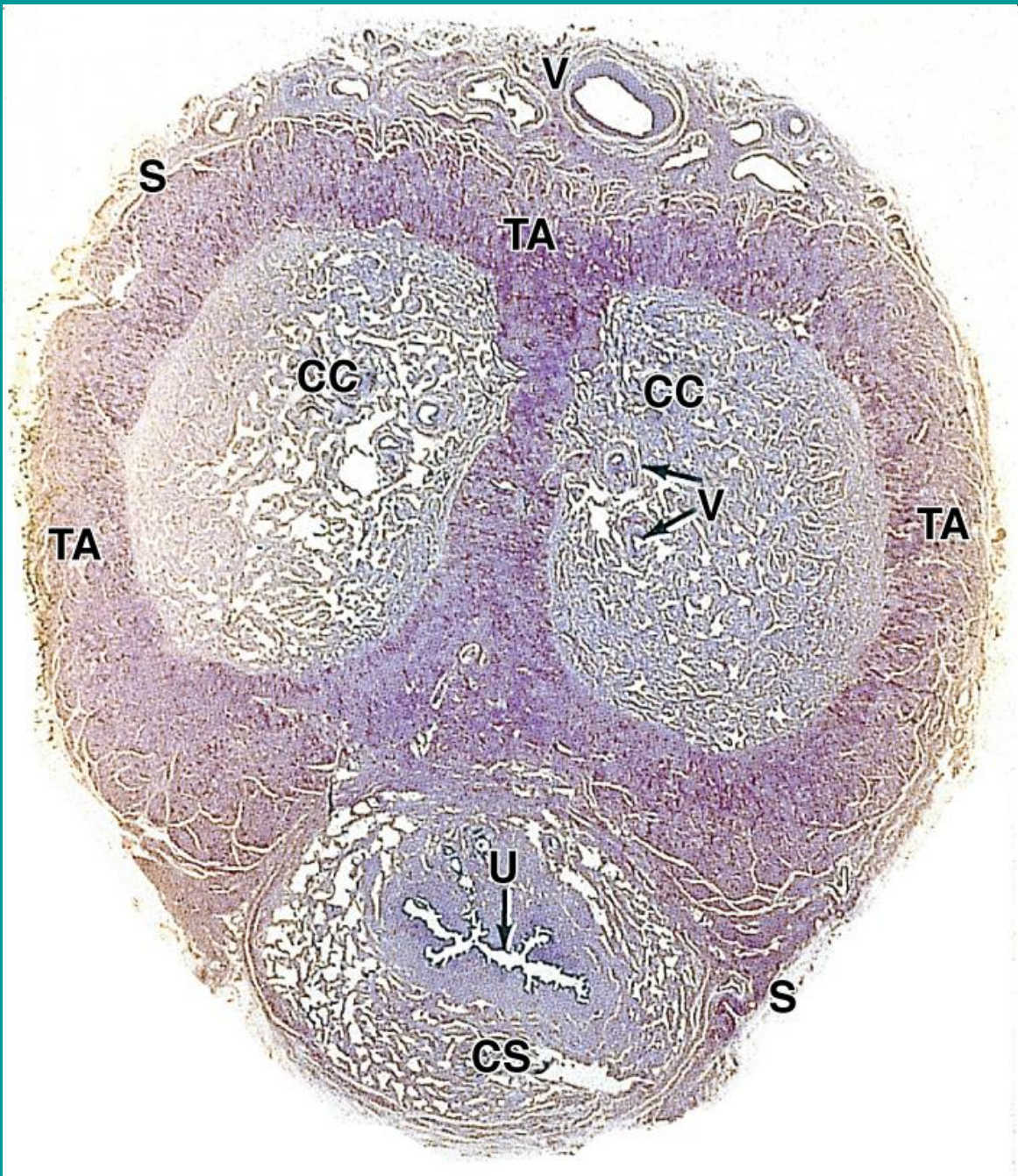


**glans, corona glandis,
preputium, frenulum**

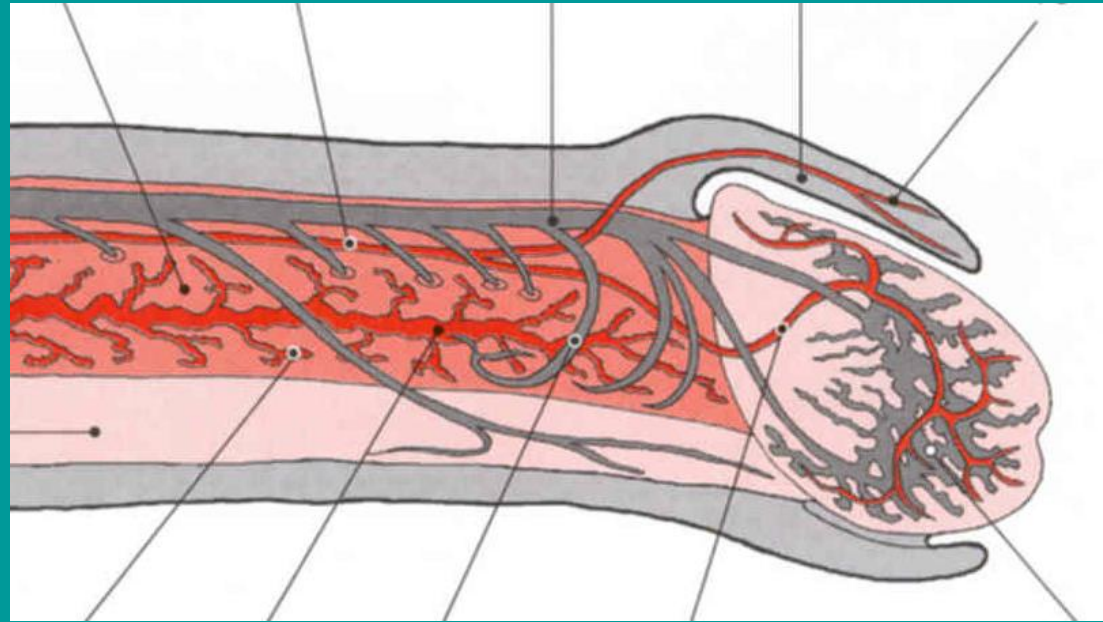
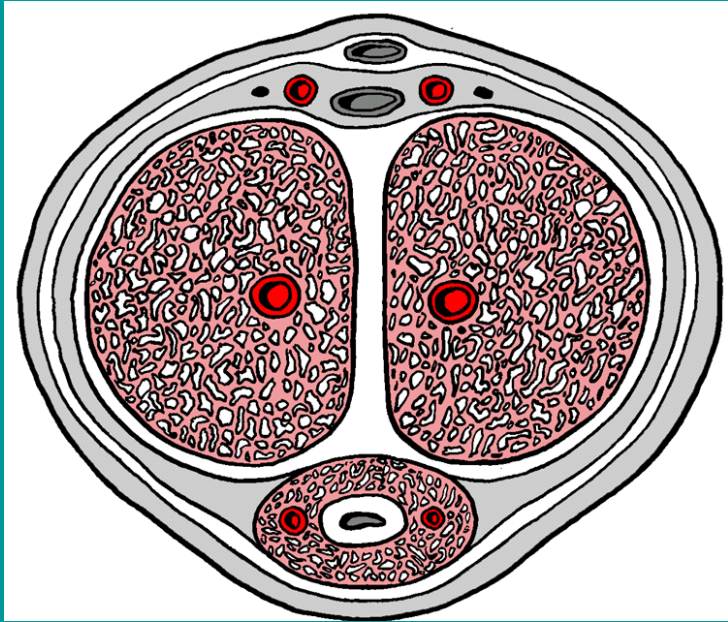
**U novorozence je vnitřní
list preputia spojen
s glans, k oddělení
dochází do konce 1. roku.**

circumscisio, phimosis





Průřez penisem: kůže, tunica dartos, fascia penis superficialis, - profunda, tunica albuginea, septum penis, trabeculae, cavernae



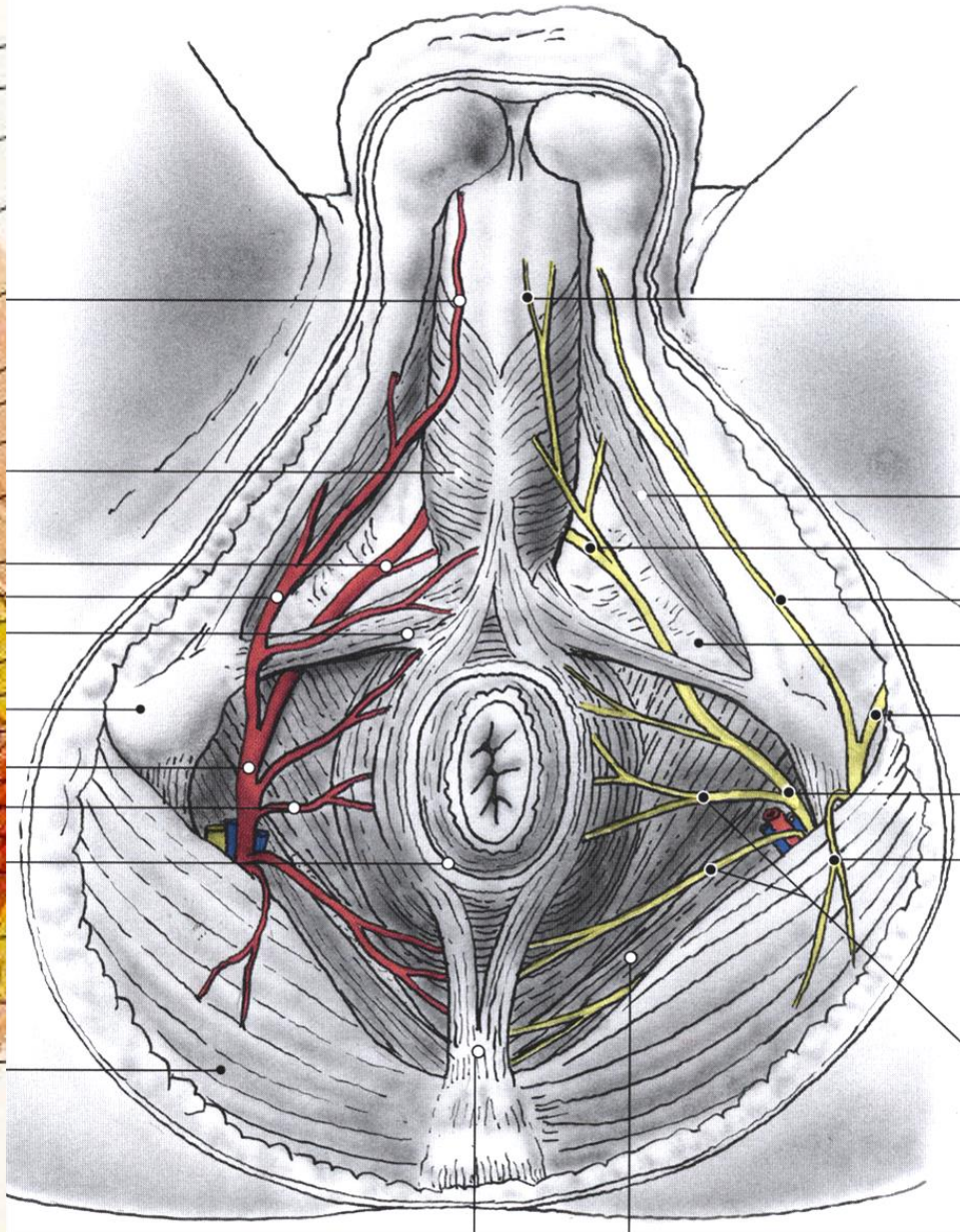
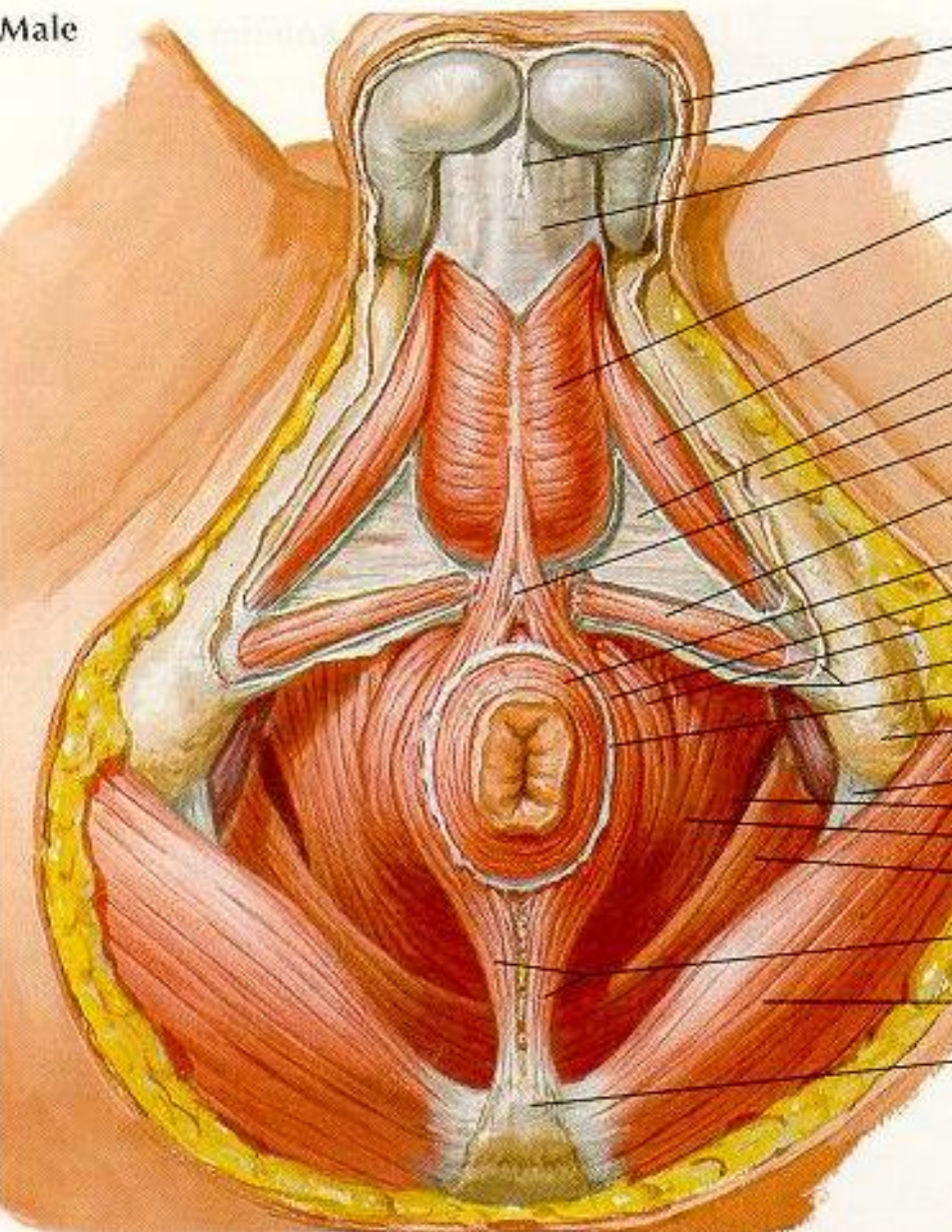
Cévy penisu

Arterie (párové) - větve a. pudenda interna: a. dorsalis penis, a. profunda penis, aa. helicinae, a. bulbi penis, a. urethralis

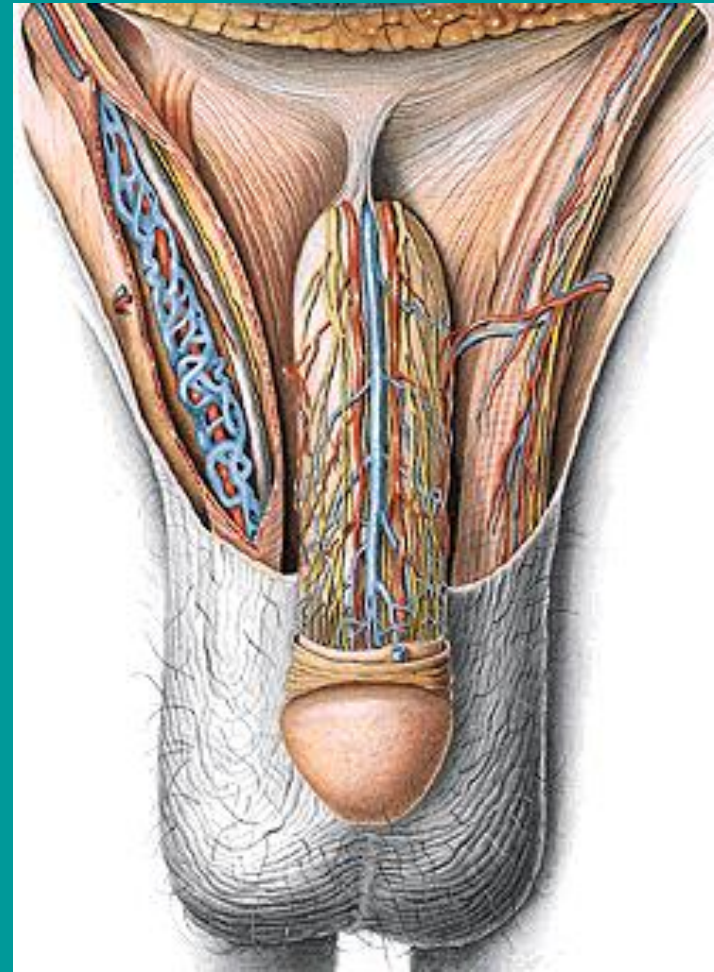
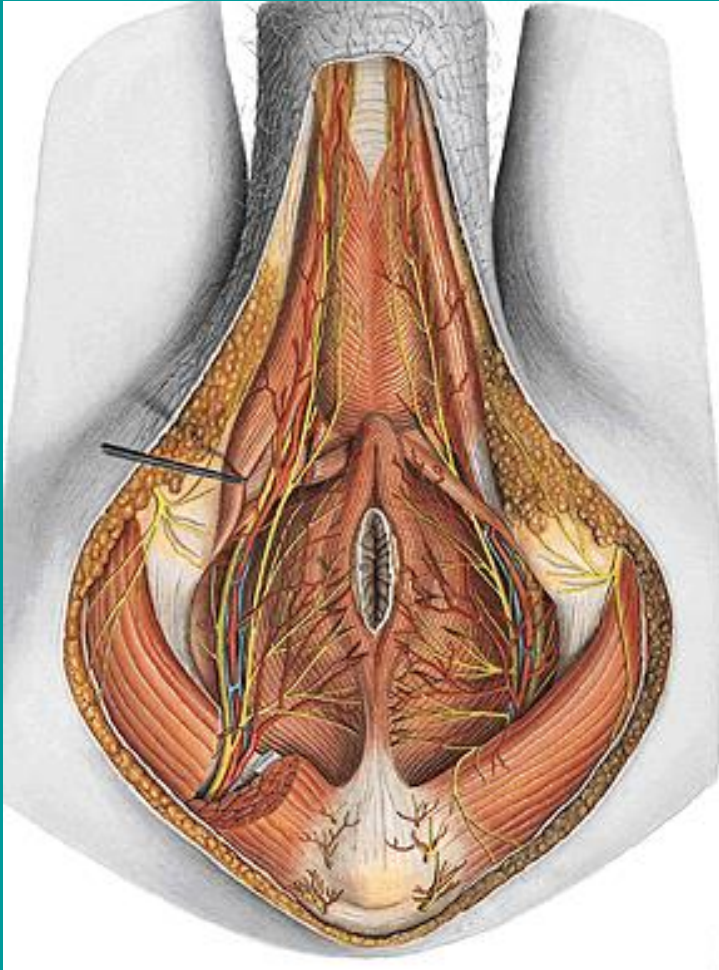
Vény (nepárové) - v. dorsalis penis superficialis do vv. pudendae externae, v. dorsalis penis profunda — do plexus venosus prostaticus, ; vv. circumflexae, vv. cavernosae -

Radix penis, mm. perinei, cévy, inervace

Male



N. pudendus – n. dorsalis penis (sensitivní), spojený s n. cavernosus major (parasympatický z S2 – S3 přes plexus hypogastricus inferior (nn. errigentes), nn. cavernosi podél cév, sympatická vlákna z L1-3



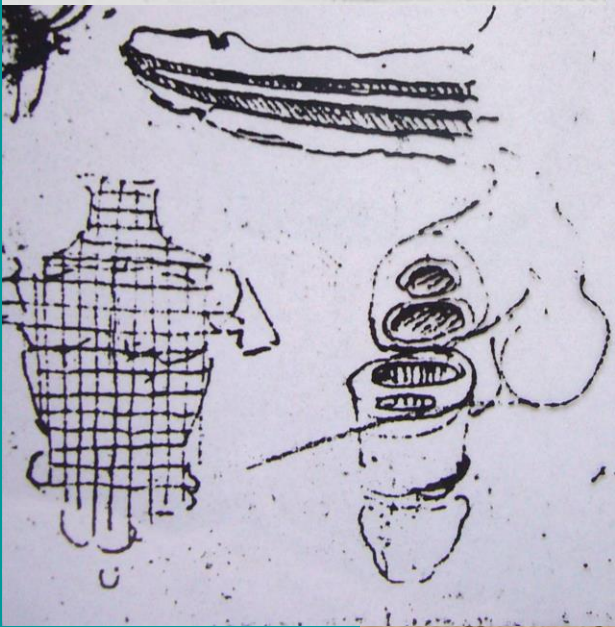
A. pudenda interna: a. dorsalis penis, a. profunda penis, a. urethralis, a. bulbi penis. V. dorsalis penis subcutanea, v. dorsalis penis profunda

Erekce- hemodynamický děj podmíněný dilatací arteriol (aa. helicinae), které přivádějí krev do kavernosních těles. Kaverny se plní tepennou krví, její odtok je ztížen při prostupu žil přes napnutou tunica albuginea. Tuhost a velikost penisu narůstá a vyrovnává se curvatura praepubica.

Vasodilatace je vyvolaná parasympatickými nitritergními nervy; uvolňují oxid dusnatý, který má výrazný vazodilatační efekt (viagra – sildenafil navozuje zvýšené uvolňování oxidu dusnatého, vsodilataci arterií a nástup erekce)

Parasympatické nitritergní neurony jsou aktivovány jednak reflektoricky ze sensitivních vláken penisu, jednak supraspinálními psychogenními mechanismy.

Clark K, Pedretti C. *The drawings of Leonardo da Vinci in the collection of Her Majesty the Queen at Windsor Castle.* London: Phaidon, 1968



Doležal A, Skořepová-Honzlová Z, Jelen K: Leonardo da Vinci and Kethem – **vena kiveris**.

Neuroendocrinol Lett 2012; **33**(8):732–735

Abstract: In the drawing of coitus by Leonardo da Vinci are pictured the contemporary hypotheses regarding this act. The authors analyze the mamillar-uterine connection depicted by the artist and grow up to believe that this is a hypothetical kiveris vena, female vein described by Anatomist Master Nicolai Physicus from the Salerno School. The Hebrew roots were found in the name. The connection is described also by Mondino in *The Anathomia*. The same connection can be found in the picture of the pregnant woman in *Fasciculus Medicina* by Johannes De Kethem.

Zdroje ilustrací:

Gray's Anatomy,

Sobotta: Atlas der Anatomie des Menschen

Grim, Druga: Základy anatomie, 3. a 5. díl

Benninghoff, Drenckhahn: Anatomie I., II.

Carlson, B.M.: Human Embryology and Developmental Anatomy, archiv autora

Doporučená literatura:

Grim, M., Druga, R. et al: 5. Anatomie krajín těla. Praha, Karolinum, Galén, 2002; 3. Trávicí, dýchací, močopohlavní a endokrinní systém, Praha, Karolinum, Galén, 2005,

Lüllmann-Rauch R.: Taschenlehrbuch - Histologie, 3. Auflage, Thieme, 2006 a český překlad této učebnice, který bude vydán v prvním čtvrtletí 2012

Sadler T. W: Langmanova lékařská embryologie. Překlad 10. vydání, Grada 2011,

Junqueira's Basic Histology 12th Edition, 2010

